

Іванов В. В.

Навчальний посібник

"Курсове  
проектування  
деталей  
машин"



Міністерство освіти і науки України

ОДЕСЬКИЙ НАЦІОНАЛЬНИЙ ПОЛІТЕХНІЧНИЙ УНІВЕРСИТЕТ

**B.B. IVANOV**

Навчальний посібник

**"КУРСОВЕ ПРОЕКТУВАННЯ ДЕТАЛЕЙ МАШИН"**

ОДЕСА ОНПУ 2018

Міністерство освіти і науки України  
ОДЕСЬКИЙ НАЦІОНАЛЬНИЙ ПОЛІТЕХНІЧНИЙ УНІВЕРСИТЕТ

В.В.ІВАНОВ

Навчальний посібник

"КУРСОВЕ ПРОЕКТУВАННЯ ДЕТАЛЕЙ МАШИН"

для студентів механічних спеціальностей вищих  
навчальних закладів

Затверджено  
на засіданні вченої  
ради ІМБ  
Протокол №1 від 19.09.2018

ОДЕСА ОНПУ 2018

Іванов, В. В. Навчальний посібник "Курсове проектування деталей машин" / / В. В. Іванов ; Одес. нац. політехн. ун-т. - Одеса, 2018. - 123 с.

У даному посібнику викладені теоретичні відомості про конструкцію, основи проектування і методи розрахунку деталей машин. Увага приділена основним принципам, методам і прийомам конструювання. Посібник містить необхідні довідкові відомості для виконання курсового проекту.

Важливою особливістю посібника є зразкові креслення приводів, редукторів, вариатору та деталей машин. Наведені приклади застосування сучасних програмних комплексів автоматизованого проектування для проектування та розрахунку деталей машин.



## ***Передмова***

Даний навчальний посібник "Курсове проектування деталей машин" є частиною навчального комплексу для організації навчання студентів механічних спеціальностей вищих навчальних закладів які включає також конспект лекцій та методичні матеріали лабораторного практикума. Посібник націлений на проектування вузлів із застосуванням AutoCAD. Студенти мають право використовувати інші програмні комплекси, наприклад, Mechanical Desktop, Inventor та ін. Причому вони можуть застосовувати і модулі САЕ, що містяться в цих програмних комплексах.

Посібник має чотири розділи: загальні питання курсового проектування, проектування механічних передач і опорних вузлів, конструкції зубчастих редукторів, робочі креслення деталей машин.

У посібнику викладена методика виконання курсових проектів і є необхідний довідковий матеріал для самостійної роботи студентів над проектом.

На кафедрі машинознавства і деталей машин накопичений значний досвід в орга-

нізації курсового проектування, у тому числі, із застосуванням AutoCAD. З урахуванням реального рівня володіння AutoCAD студентами третього курсу, виконання креслень на ЕОМ підвищує трудомісткість курсового проектування в 2...3 рази. Тому організація курсового проектування з використанням AutoCAD докорінно відрізняється від традиційної. Необхідно звільнити студента від великого об'єму роботи з креслення конструкції, а замість цього основну увагу приділити аналізу і проробки різних варіантів конструкції, з метою зниження габаритів, маси і підвищення ККД редуктору, приводу.

У якості вхідних даних студента, поряд із параметрами і схемою приводу, видається файл креслення прототипу проектованого редуктора. В посібнику наведені всі основні схеми типажних редукторів. Після виконання кінематичного розрахунку, розрахунків передач на міцність і перевірки підшипників на динамічну довготривалість, відповідно розділу II, студент вносить необхідні зміни в креслення прототипу. Потім відповідно до отриманого завдання докладно проробляються питання зниження габаритів і маси редуктору за рахунок оптимальної

розвивки передатного відношення, підвищення твердості робочих поверхонь зубів або підвищення жорсткості опорних вузлів.

Тут повною мірою виявляються переваги курсового проектування з використанням AutoCAD. Після проведення розрахунку варіантів компоновки, немає необхідності в новому нового прорисування всього креслення, що дозволяє проробити 3-4 варіанта конструкції редуктору і вибрати найкращий. Ще великі можливості відчиняються при розгляді різних варіантів приводу. Студенти мають можливість використовуючи каталог електродвигунів прокреслити 4-6 варіантів конструкції приводу, що відповідають електродвигунам із різною частотою обертання, змінювати просторове положення редуктора й електродвигуна, використовуючи різні варіанти кріплення останнього.

Відповідно до завдання на курсове проектування студент виконує робоче креслення корпусу, кришки редуктору або зварної рами, а також робочі креслення типових деталей. Такий об'єм можливий тому, що креслення деталей не прорисовуються наново, а копіюються з остаточних варіантів креслення редуктору та приводу, і трудомісткість

креслярської роботи зменшується. Це дозволяє більше уваги приділити оформленню креслення: вдумливому поставленню розмірів, виборові граничних відхилень і шорсткостей з урахуванням ймовірної технології виготовлення, проробки технічних вимог і таблиць параметрів зачеплення для деталей, які мають зубчастий вінець.

Курсове проектування з використанням AutoCAD змінює уявлення про об'єм курсового проектування. З урахуванням розглянутих варіантів редуктору і приводу студент може виконати 10...11 креслень, що звичайно прийнято викреслювати на 7...8 листах формату А1. Друкувати таке число листів на плотарі недоцільно з економічних розумінь. Надруковані на принтері у форматі А4 креслення не завжди читаємо. Найбільш доцільно друкувати на плотарі лише найкращі варіанти конструкцій редуктору і приводу, а також креслення корпусу і рами. Замість формату А1 можна використовувати формат А2 або А3, деталі виконують на форматі А4. Доцільно роздруковувати кожну проекцію редуктору, приводу на окремому аркуші у вигляді окремого креслення. Жорстких вимог по кількості листів не встановлюється. Звичайно проект включає 1-2 листа фо-

рмату А2, 1-2 листа формату А3 та 4 листи формату А4. Листи підшипають до записки. Розрахунково-пояснювальна записка студентами оформляється в текстовому редакторі WORD з використанням зразка записки.

Для організації самостійної роботи студентів над проектом велику увагу необхідно приділити конструктивній різноманітності проектованих редукторів і приводів. У атласі наведені можливі варіанти завдань на курсове проектування. Поряд із схемами типажних редукторів підібрані рідко використовувані, але перспективні схеми редукторів і приводів.

Додаткові можливості з проробки різних варіантів конструкцій дають пакети інженерного аналізу. Найбільше придатні до використання в навчальному процесі Mechanical Desktop і Inventor. Будівля різних пакетів інженерного аналізу ідентична - графічний препроцесор із можливістю обміну даними з програмами CAD, власне процесор розрахунків на міцність на базі скінчено-елементних моделей і постпроцесор, що вирішує задача візуалізації, включаючи фотorealістичну анімацію.

Звичайно для проведення розрахунку на міцність

раніше було потрібно створення об'ємних твердотільних моделей. Mechanical Desktop розпізнає тривимірні твердотільні моделі і перетворює їх у параметрично описані деталі за допомогою модуля Feature Recognition. Остання версія Mechanical Desktop і Mechsoft орієнтована на імпорт площинних креслень деталей із AutoCAD і перетворення їх у параметричні моделі.

У Mechanical Desktop входить спеціальний модуль Power Pack, що містить стандартні деталі, профілі сталевого прокату і конструктивні елементи відповідно до різних стандартів, серед яких і ДЕРЖСТАНДАРТ. Маса і моменти інерції спроектованих деталей визначаються модулем Power Pack з урахуванням матеріалу. Є база даних матеріалів по стандартах ISO, DIN, ДЕРЖСТАНДАРТ та ін.

Найбільше цікавою особливістю розглянутого модуля є можливість генерації параметричних моделей ряду деталей - валів, пружин, кулачків. Параметрична модель вала формується з типових елементів: циліндрів, конусів, зубчастих коліс, різьбових і шліцьових ділянок. Використання стандартних підшипників, кілець, втулок

дозволяє одержати параметричну модель складання - підшипниковий вузол.

Модуль Power Pack містить основні інженерні розрахунки з курсу деталей машин: розрахунок болтового з'єднання (включаючи з'єднання з попереднім затягуванням), підшипників, валів, кулачків, пружин, ланцюгових і ремінних передач, а також геометричний розрахунок циліндричних зубчастих передач.

# РОЗДІЛ І

Шорядок виконання  
курсового проекту.  
Приклади варіантів  
вхідних даних.



# "Курсове проектування деталей машин"

## Порядок виконання курсового проекту

- Тема **A**
1. Кінематичний розрахунок приводу.
  2. Проектний розрахунок зубчастих передач.
  3. Розрахунок відкритої передачі гнучким зв'язком.
  4. Підготовка ескізного проекту.
  5. Перевірочні розрахунки зубчастих передач.
  6. Розробка альтернативного варіанту конструкції з більш високими (на 15 ... 20%) :
    - а) навантажувальною спроможністю редуктора з циліндричними передачами;
    - б) довготривалістю редуктору з конічною передачею;
    - в) ККД редуктору з черв'ячною передачею;
  7. Уточнений розрахунок вала на витривалість.
  8. Розрахунок підшипників на динамічну довготривалість.
  9. Перевірочний розрахунок муфти.

## Зміст графічної частини проекту

Тема **A**

1. Складальне креслення редуктору. Викреслюються три проекції редуктору з усіма необхідними розрізами, наводяться технічні характеристики і вказуються технічні вимоги.
2. Робоче креслення корпусної деталі. Виконується робоче креслення картеру або кришки редуктору, що виготовляються зварюванням.
3. Робочі креслення основних деталей приводу. (Вал, вал-шестерня, колесо зубчасте, стакан, кришка підшипника, шків, зірочка). Усього 4 - 5 креслень.
4. Складальне креслення другого варіанту конструкції редуктору. Викреслюється дві проекції редуктору з усіма необхідними розрізами, наводяться технічні характеристики і вказуються технічні вимоги.  
  
Викреслюється компонування варіантів конструкції редуктору, накладені одна поверх іншій.

# "Курсове проектування деталей машин"

<b>Порядок виконання</b> <b>курсового проекту</b>	<b>Зміст графічної частини</b> <b>проекту</b>
<b>Тема Б</b>	<b>Тема Б</b>
<p>1. Кінематичний розрахунок приводу.</p> <p>2. Проектний розрахунок зубчастих передач.</p> <p>3. Розрахунок відкритої передачі гнучким зв'язком.</p> <p>4. Підготовка ескізного проекту.</p> <p>5. Перевірочні розрахунки зубчастих передач.</p> <p>6. Проробка варіантів конструкції:</p> <p>а) опорних вузлів редуктору з циліндричними передачами;</p> <p>б) конструкції коліс редуктору з конічною передачею;</p> <p>в) системи охолодження редуктору з черв'ячною передачею;</p> <p>7. Уточнений розрахунок вала на витривалість.</p> <p>8. Розрахунок підшипників на динамічну довготривалість.</p> <p>9. Перевірочний розрахунок муфти</p>	<p>1. Складальне креслення редуктора. Викреслюються три проекції редуктору з усіма необхідними розрізами, наводяться технічні характеристики і вказуються технічні вимоги.</p> <p>2. Робоче креслення корпусної деталі. Виконується робоче креслення картеру або кришки редуктору, що виготовляються зварюванням.</p> <p>3. Складальні креслення варіантів конструкцій опорного вузла (для циліндричних редукторів). Робочі креслення варіантів конструкцій коліс (для циліндро-конічних редукторів). Робочі креслення варіантів конструкції корпусу (для черв'ячних редукторів). Усього 4 - 5 креслень.</p> <p>4. Креслення загального виду приводу або другий варіант проробки конструкції редуктору</p>

# "Курсове проектування деталей машин"

Порядок виконання курсового проекту	Зміст графічної частини проекту
<p style="text-align: center;">Тема В</p> <p>1. Кінематичний розрахунок приводу.</p> <p>2. Проектний розрахунок зубчастих передач.</p> <p>3. Розрахунок відкритої передачі гнучким зв'язком.</p> <p>4. Підготовка ескізного проекту.</p> <p>5. Розрахунок підшипників на динамічну довготривалість.</p> <p>6. Уточнений розрахунок вала на витривалість.</p> <p>7. Перевірочний розрахунок муфти на швидкохідному валу редуктору.</p> <p>8. Кінематичний розрахунок приводу з відкритою зубчастою передачею на вихідному валу редуктору замість передачі гнучким зв'язком.</p> <p>9. Розрахунок відкритої зубчастої передачі. При необхідності проектний розрахунок передач редуктору.</p> <p>10. Перевірочний розрахунок муфти на тихохідному валу редуктору.</p> <p>11. Порівняльний аналіз компонувань двох варіантів приводу.</p>	<p style="text-align: center;">Тема В</p> <p>1. Складальне креслення редуктору. Викреслюються три проекції редуктору з усіма необхідними розрізами, наводяться технічні характеристики і вказуються технічні вимоги.</p> <p>2. Креслення загального виду приводу. Викреслюються три проекції приводу, вказуються технічні характеристики і наводяться технічні вимоги. Проробляється конструкція рами. Викреслюються необхідні перетини і місцеві види.</p> <p>3. Робочі креслення основних деталей приводу. (Вал, вал-шестерня, колесо з зубчастою, стакан, кришка підшипника, шків, зірочка). Усього 4 - 5 креслень.</p> <p>4. Креслення загального виду альтернативного варіанта приводу. Викреслюються дві проекції приводу, вказуються технічні характеристики і наводяться технічні вимоги. Розробляється і викреслюється конструкція рами.</p>

# "Курсове проектування деталей машин"

## Зміст розрахунково-пояснювальної записки

1. Титульний лист.
2. Вихідні дані.
3. Зміст.
4. Кінематичний розрахунок приводу. Наводиться кінематична схема приводу з позначенням усіх валів і елементів передач. Визначаються потужності, частоти обертання, кутові швидкості й обертові моменти для кожного вала приводу.
5. Розрахунок зубчастих передач. Наводяться вихідні дані для розрахунку, обирають матеріал зубчастих коліс і вид термообробки, виконується розрахунок припустимих напруг, визначаються геометричні розміри зубчастих коліс, виконуються перевірочні розрахунки передачі.
6. Розрахунок відкритих передач. Наводяться вихідні дані для розрахунку, вибір характеристик елементів передачі, визначення припустимих параметрів, визначення геометричних параметрів передачі, перевірочні розрахунки.
7. Підготовання ескізного проекту. Для кожного валу приводу наводиться орієнтовний розрахунок його діаметру, і призначаються діаметри всіх ділянок вала, обирається тип підшипників і схема їхньої установки. Визначаються конструктивні розміри елементів корпусу редуктору, відстані між елементами приводу. Вибирається спосіб виготовлення заготовель окремих деталей, розміри дисків, ободів, з'єднань вал-маточина, вихідних ділянок валів. Обирається система змащування передач і відповідний мастильний матеріал.
8. Перевірочні розрахунки. Наводяться уточнений розрахунок валу на втомну міцність (вал для розрахунку обирається за узгодженням із викладачем), розрахунок підшипників на довготривалість, розрахунки з'єднань вал-маточина і муфти. Інші необхідні розрахунки.
9. Література.
10. ДОДАТКИ. Специфікації на складальні креслення, ескізна проробка.

# "Курсове проектування деталей машин"

## Варіанти циклограм навантаження приводу

Таблиця 1.1

<b>№</b>	<b>Назва режиму і номер по малюнку</b>	$T_2/T_{max}$	$T_3/T_{max}$	$L_{h2}/L_h$	$L_{h3}/L_h$
1	<b>Постійний 1</b>	0	0	1.0	0
2	<b>Важкий 2</b>	0	0.3	0.5	0
3		0.8	0.4	0.3	0.4
4	<b>Середній равновтомірний 3</b>	0	0.2	0.25	0
5		0.6	0.2	0.15	0.45
6	<b>Середній нормальній 4</b>	0	0.15	0.18	0
7		0.6	0.2	0.1	0.4
8	<b>Легкий 5</b>	0	0.15	0.125	0
9		0.5	0.1	0.1	0.2
10	<b>Особо легкий 6</b>	0	0.1	0.063	0
11		0.4	0.1	0.05	0.25

**Типові режими навантаження**

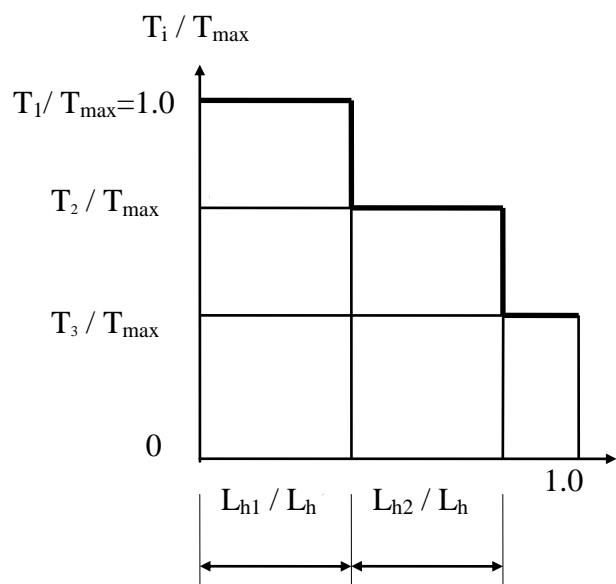


Рис. 1.1

**Циклограмми навантаження**

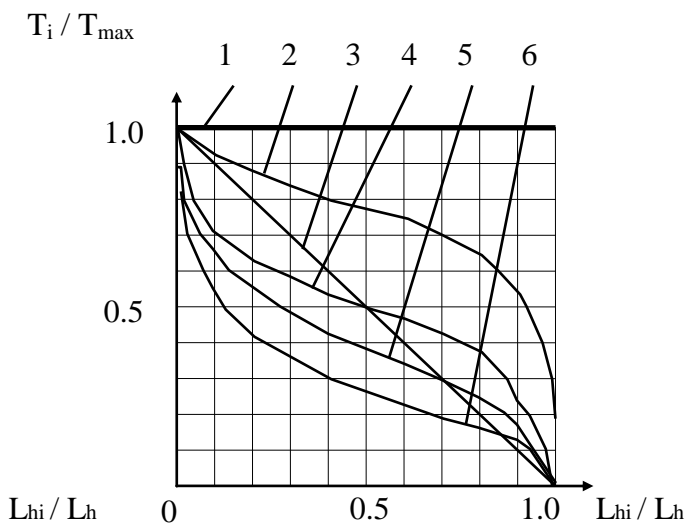
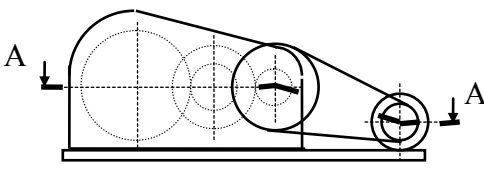
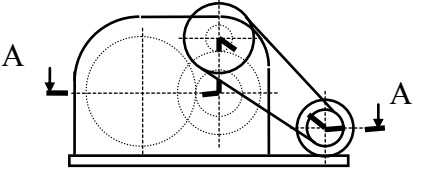
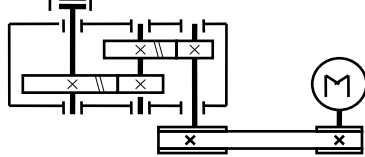
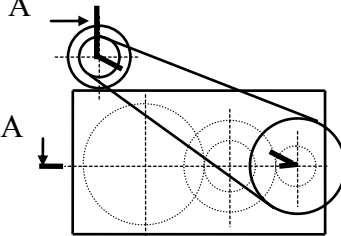
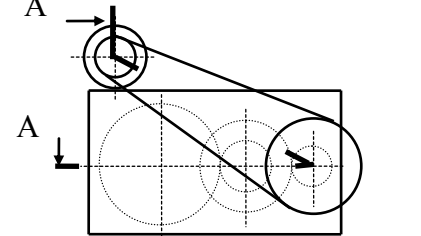
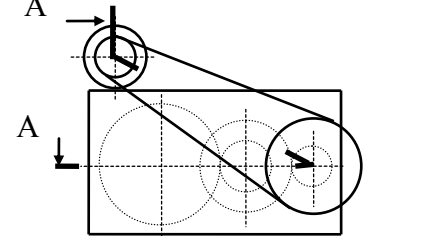
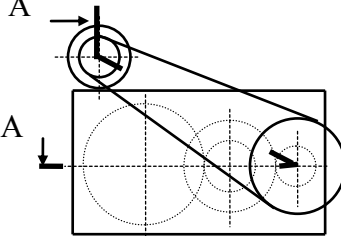
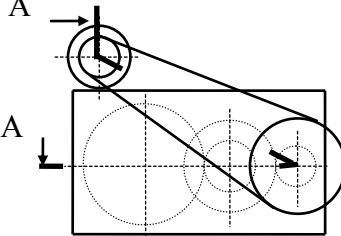
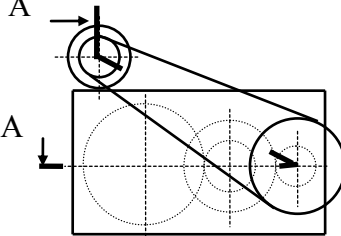
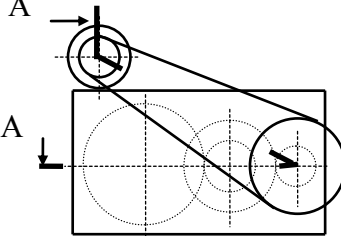
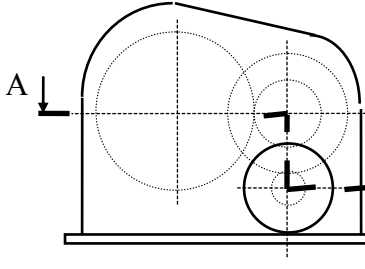
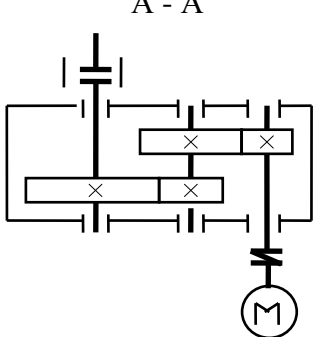
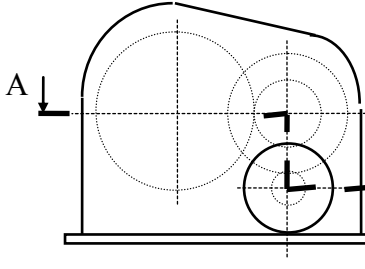
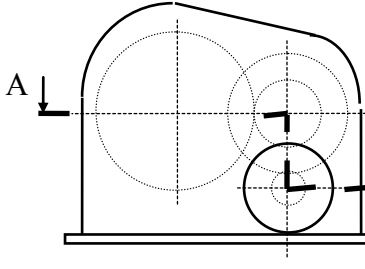
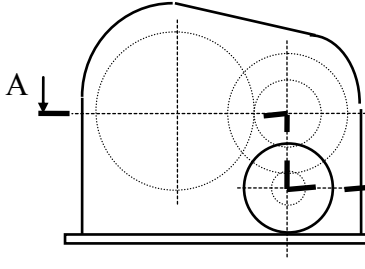
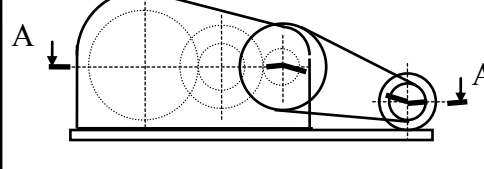
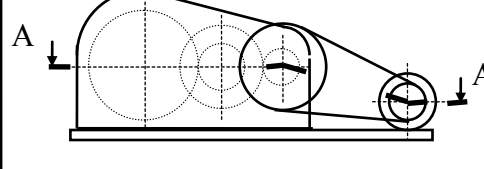
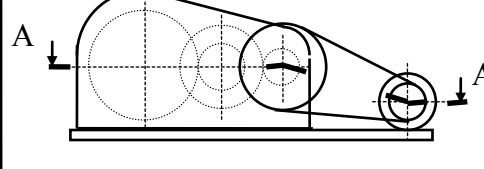
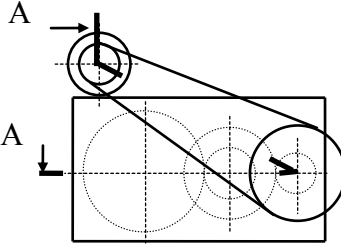
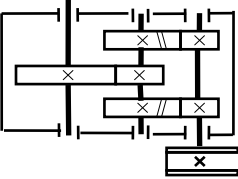
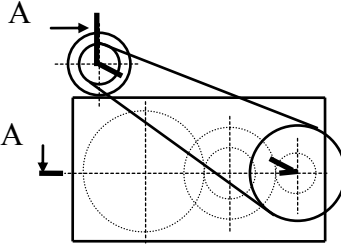
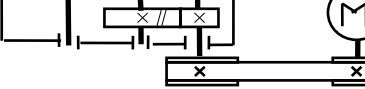
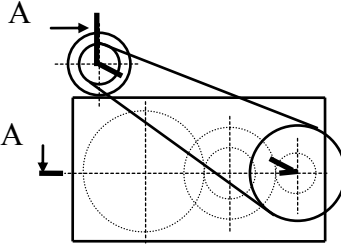


Рис. 1.2.

# "Курсове проєктування деталей машин"

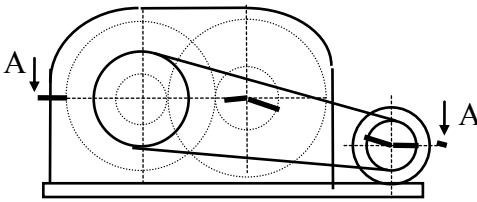
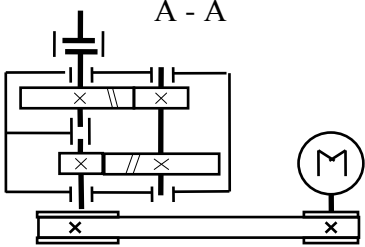
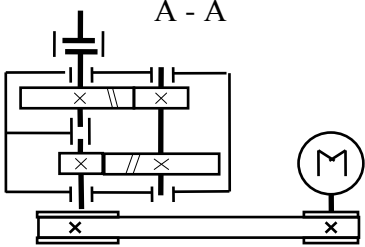
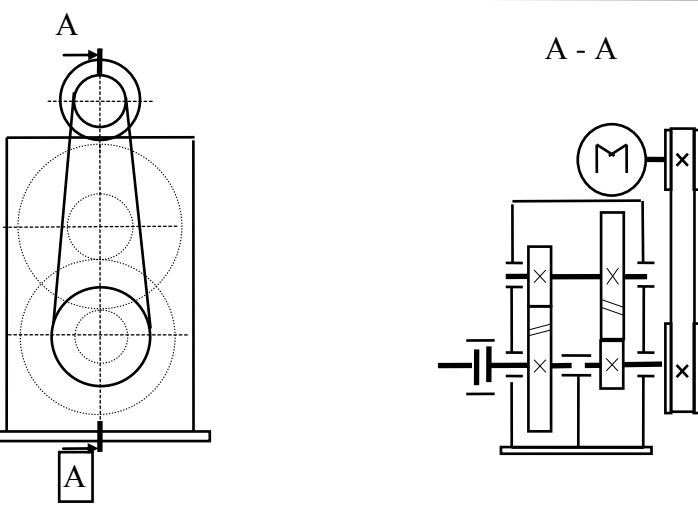
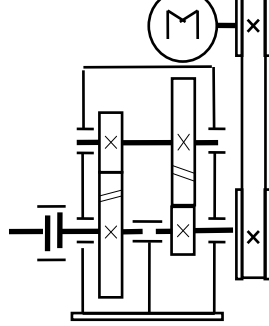
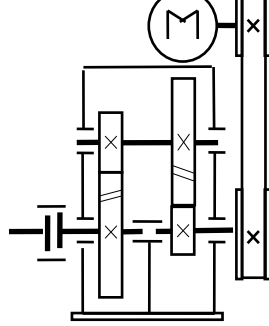
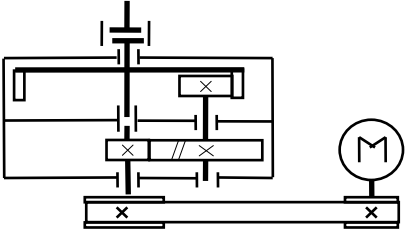
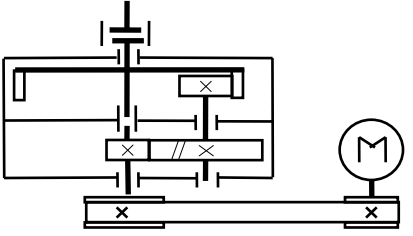
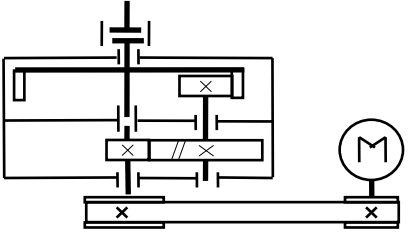
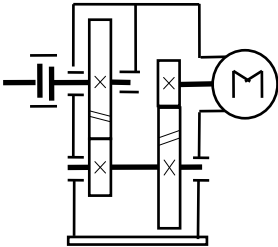
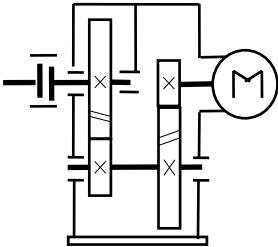
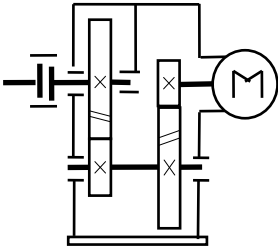
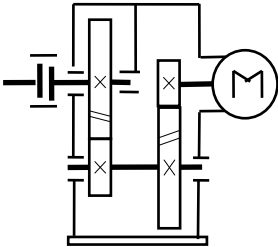
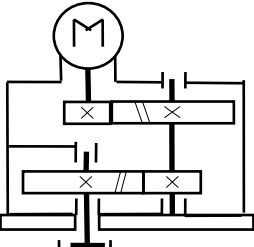
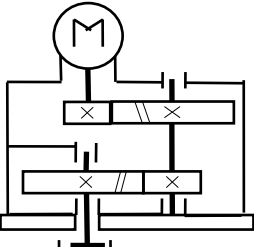
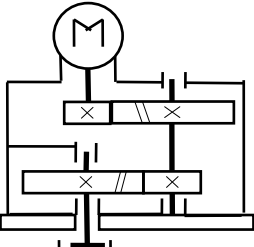
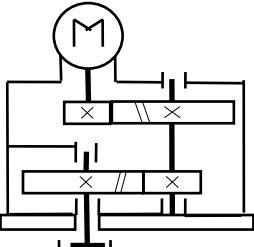
## Кінематичні схеми приводів

Таблиця 2

№	Особливості	Схема	
1	Плоский ремінь		
2	Клиновий ремінь		
3	Зубчастий ремінь		
4	Плоский ремінь		
5	Клиновий ремінь		
6	Зубчастий ремінь		
7	Плоский ремінь		
8	Клиновий ремінь		
9	Зубчастий ремінь		
10	Всі ступені прямозубі		
11	Все ступені косозубі		
12	1 ступінь косозуба		
13	2 ступінь косозуба		
14	Плоский ремінь		
15	Клиновий ремінь		
16	Зубчастий ремінь		
17	Плоский ремінь		
18	Клиновий ремінь		
19	Зубчастий ремінь		

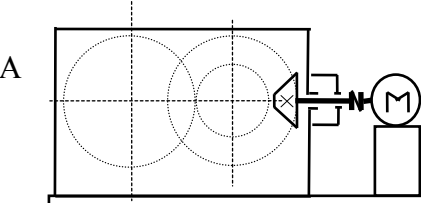
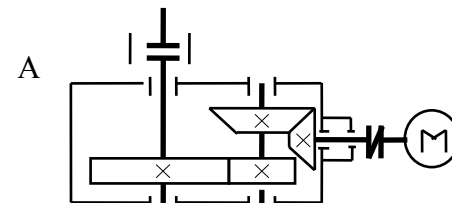
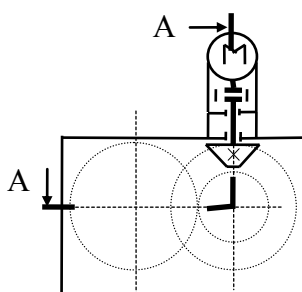
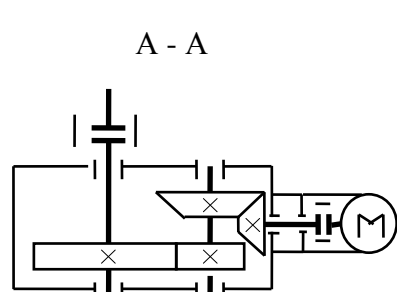
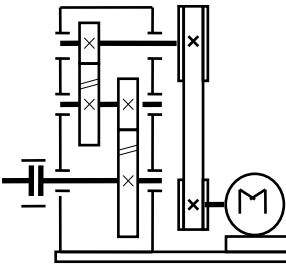
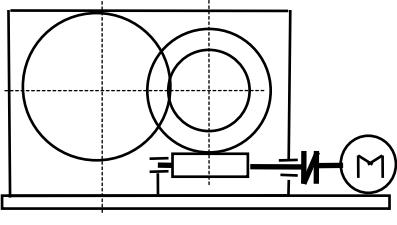
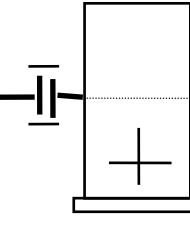
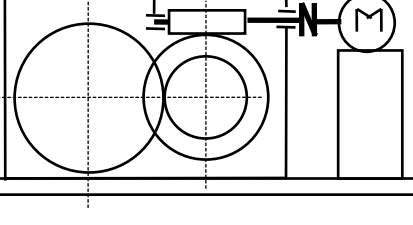
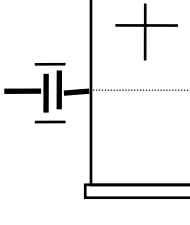
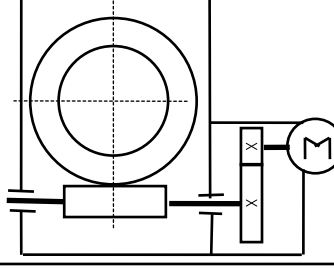
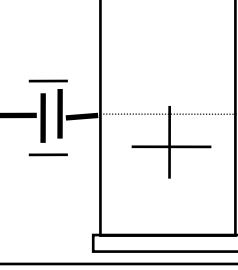
# "Курсове проєктування деталей машин"

Продовження табл.2

№	Особливості	Схема
20	Плоский ремінь	
21	Клиновий ремінь	
22	Зубчастий ремінь	
23	Плоский ремінь	
24	Клиновий ремінь	
25	Зубчастий ремінь	
26	Плоский ремінь	
27	Клиновий ремінь	
28	Зубчастий ремінь	
29	Всі ступені прямозубі	
30	Все ступені косозубі	
31	1 ступень косозуба	
32	2 ступень косозуба	
33	Всі ступені прямозубі	
34	Всі ступені косозубі	
35	1 ступень косозуба	
36	2 ступень косозуба	

# "Курсове проєктування деталей машин"

Продовження табл. 2

№	Особливості	Схема
37	2-я ступень косозуба	
38	2-я ступень прямозуба	
39	2-я ступень косозуба	
40	2-я ступень прямозуба	
41	Плоский ремінь	
42	Клиновий ремінь	
43	Зубчастий ремінь	
44	2-я ступень косозуба	
45	2-я ступень прямозуба	
46	2-я ступень косозуба	
47	2-я ступень прямозуба	
48	1-я ступень косозуба	
49	1-я ступень прямозуба	

# "Курсове проектування деталей машин"

---

## Варіанти вхідних даних

Таблиця 3

№	Момент на вихідному валу приво- ду $T_{вих}$ , Н*м	Частота обер- тання вихідно- го валу приво- ду $n_{вих}$ , об/хв	Передатне число ре- дуктору $U_{ред}$	Твердість робочих Поверхонь зубів ко- ліс	Термін служби приводу $L_h$ , тис. годин
1	2000	50	20	250HB	5
2	1500	80	16	290HB	10
3	1000	60	20	48HRC	12
4	750	100	12	290HB	8
5	500	100	16	63HRC	6
6	400	200	10	55HRC	7
7	315	200	12	250HB	5,5
8	250	250	12	290HB	6
9	160	160	10	50HRC	7,5
10	100	200	16	55HRC	10
11	2000	20	50	230HB	14
12	1400	30	32	63HRC	6
13	800	50	25	290HB	7
14	500	80	20	45HRC	9
15	250	120	10	55HRC	10
16	100	80	16	50HRC	12
17	80	50	25	290HB	16
18	1800	40	25	250HB	10
19	1200	60	20	259HB	8
20	900	75	12	290HB	6,5
21	2000	35	20	45HRC	9
22	1750	30	32	48HRC	5
23	1500	20	40	50HRC	7,5
24	1250	40	25	290HB	10
25	1000	50	20	63HRC	14
26	750	100	12	230HB	11
27	500	150	10	55HRC	10
28	350	80	16	50HRC	5,5
29	280	100	12	290HB	7
30	200	150	10	230HB	10

# РОЗДІЛ III

## Проектування механічних передач і опорних вузлів



# "Курсове проектування деталей машин"

## **Кінематичний розрахунок приводу**

Перший етап кінематичного розрахунку – розбивка передатного відношення приводу, значною мірою визначає його габарити і вагу. Орієнтований вибір передатних чисел роблять за даними таблиці 2.1.

Табл.2.1

Вид Передачі	Рекомен- довано значення $u$	Макси- мальне значення $u$
Циліндрична зубча- ста передача відкр- ита	2...4	5
Циліндрична зубча- ста передача закри- та швидкохідна	3,15...5	8
Циліндрична зубча- ста передача закри- та тихохідна	2,5...5	6,3
Циліндрична зубча- ста передача закри- та тихохідна	2,5...5	6,3
Циліндрична зубчас- та передача в спі- восному редукторі	4...6 ,3	10
Конічна зубчаста передача закрита	3,15...5	6,3
Конічна зубчаста передача відкрита	1...4	5
Черв'ячна передача	16...50	80
Ланцюгова передача	1,5...4	10
Ремінна передача	2...4	8

Передатні  
відношення по-  
винні відпові-  
дати стандарт-  
ним:

1-й ряд –  
1; 1,25; 1,6;  
2,0; 2,5;  
3,15; 4,0;  
5,0; 6,3; 8,0;  
10; 12,5  
2-й ряд –  
1,12; 1,4;  
1,8; 2,24;  
2,8; 3,55;  
4,5; 5,6; 7,1;  
9,0; 11,2

Для пере-  
дач редукто-  
рів, із досві-  
ду конструю-  
вання розроб-  
лені більш то-  
чні рекоменда-  
ції на вибір  
передатних чи-  
сел швидкохід-  
ної  $u_{\text{ш}}$  і тихо-  
хідної  $u_{\text{т}}$  сту-  
пені (табл.  
2.2).

## "Курсове проєктування деталей машин"

Табл. 2.2

Номер кінематичної схеми приводу	Формула для визначення передатного числа швидкохідної $u_{ш}$ і тихохідної $u_т$ ступені у залежності від передатного числа редуктору $u$
1 – 19	$u_{ш} = 0.88\sqrt{u}$
41 – 43	
20 – 25	$u_{ш} = 0.95\sqrt{u}$
29 – 36	
26 – 28	$u_{ш} = 2\sqrt[3]{u}$
37 – 40	$u_{ш} = 1.1\sqrt{u}$
46 – 49	<b>1, 6...3, 15</b>

Необхідні для кінематичного розрахунку значення ККД зведені в таблицю 2.3.

Табл. 2.3

тип передачі	ККД
Циліндрична відкрита зубчаста передача	0,97
Циліндрична закрита зубчаста передача	0,98
Конічна відкрита зубчаста передача	0,95
Конічна закрита зубчаста передача	0,975
Черв'ячна передача $u > 30$	0,7
Черв'ячна передача $u = 14...30$	0,75
Черв'ячна передача $u < 14$	0,85
Ланцюгова передача	0,95
Ремінна передача	0,93

## Розрахунок зубчастих передач на контактну витривалість

Міжосьова відстань (м)

$$a_w = K_a (u \pm 1) \sqrt{\frac{k_{H\beta} T_{H2}}{\phi_a u^2 [\sigma_H]^2}},$$

де знак “-” для передач внутрішнього зачеплення; коефіцієнт  $K_a = 4950$  для прямозубих коліс;  $K_a = 4300$  для косозубих коліс;  $\phi_a$  – коефіцієнт ширини зубчастого вінця який вибирається з ряду стандартних чисел: 0.1, 0.15, 0.2, 0.25, 0.315, 0.4, 0.5, 0.65.

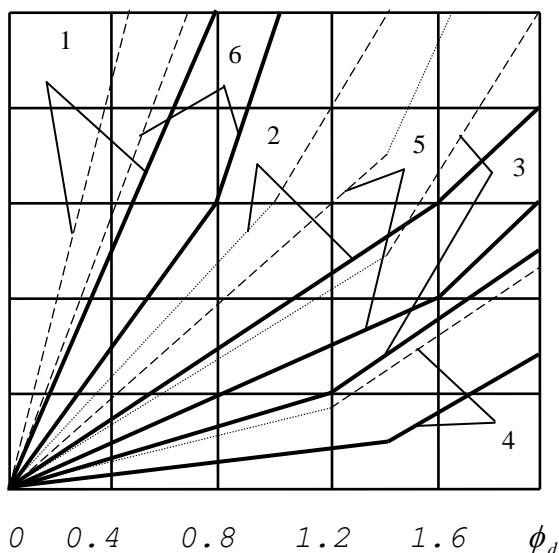


Рис. 2.1

По обраному значенню  $\phi_a$  визначаємо коефіцієнт

$$\phi_d = \phi_a (u+1) / 2.$$

Графік залежності коефіцієнта  $k_{H\beta}$  даний суцільними лініями (Рис. 2.1) при твердості зубів шестерні або колеса менше 350НВ. Крива (1) відповідає I ступені в схемах – 37...40; (2) I ст. – 1...19, 41...49; (3) II ст. – 1...13, 37...43; (4) II ст. – 14...19, (5) – 20...36, (6) II ст. – 26...28.

Знайдені

значення міжосьової відстані округляють до стандартних: 40, 50, 63, 71, 80, 90, 100, 112, 125, 140, 160, 180, 200, 225, 250, 280, 315.

Вибирають модуль передачі  $m = 0.01 - 0.025 a_w$  відповідно з стандартними значеннями:  
Ряд 1 (мм) 1.0, 1.25, 1.5, 2, 2.5, 3, 4, 5, 6, 8, 10.  
Ряд 2 (мм) 1.75, 2.25, 2.75, 3.5, 4.5, 5.5, 7, 9.

Формула перевірочного розрахунку на контактну витривалість

# "Курсове проектування деталей машин"

$$\sigma_H = Z_E Z_H Z_\varepsilon \sqrt{\frac{F_t k_{H\alpha} k_{H\beta} k_{H\nu} (u+1)}{b_w d_1 u}} \leq [\sigma_H]$$

де  $F_t$  вимірюється в Н; лінійні розміри в

мм;  $[\sigma_H]$  в МПа;  $Z_E = 190$

$MPa^{1/2}$ ;  $Z_\varepsilon = \sqrt{1/\varepsilon_\alpha}$  - для косозубих коліс і

$Z_\varepsilon = \sqrt{(4-\varepsilon_\alpha)/3}$  для прямозубих;

$$\varepsilon_\alpha = [1.88 - 3.2((1/Z_1) + (1/Z_2))] \cos \beta$$

$Z_H \approx 25$ ;  $k_{H\alpha} = 1$  для прямозубих

$k_{H\alpha} = 1 + C(N-5)[(1/Z_\varepsilon^2) - 1]$  для косозубих  
( $C=0,25$  при  $H < 350HB$ ,  $C=0,4$  при  $H > 350HB$ ,  $N$

- ступінь точності);  $k_{H\nu} = 1 + \frac{w_{H\nu} b_w}{F_t k_{H\alpha} k_{H\beta}}$ ,

$$w_{H\nu} = \delta_H g_0 v \sqrt{a_w / u}$$

Значення коефіцієнта  $\delta_H$

Табл. 2.4

Вид зубів	$\delta_H$ при $H < 350$	$\delta_H$ при $H > 350$
Прямі	0,16	0,14
Прямі модифіковані	0,04	0,1
Косозубі	0,02	0,04

Значення коефіцієнта  $g_0$

Табл. 2.5

модуль	6 ст. точн.	7 ст. точн.	8 ст. точн.
<3,55	3,8	4,7	5,6
3,55... 10...10	4,2	5,3	6,1
>10	4,8	6,4	7,3

При проектному розрахунку конічних передач визначається зовнішній ділильний діаметр колеса (м)

$$d_{t2} = 17500 \sqrt{\frac{k_{H\beta} u T_{H2}}{\theta_H [\sigma_H]^2}}$$

Коефіцієнт  $\theta_H$  приймають рівним 0,85 для прямозубих коліс; для коліс з круговими зубами:

$(H_1 < 350HB,$   
 $H_2 < 350HB)$

$$\theta_H = 1,22 + 0,21,$$

$(H_1 > 350HB,$   
 $H_2 < 350HB)$

$$\theta_H = 1,13 + 0,13,$$

$(H_1 > 350HB,$   
 $H_2 > 350HB)$

$$\theta_H = 0,81 + 0,15.$$

Коефіцієнт  $k_{H\beta}$  обирають по рис. 2.1 для коліс з круговими зубами

$$\theta_H = 1,22 + 0,21 u$$

$(H_1 < 350HB \text{ по}$

$$\phi_d = 0.166 \sqrt{u^2 + 1}.$$

Перевірка зубів конічних коліс по контактних напругах

$$\sigma_H = 1.9 * 10^6 \sqrt{\frac{k_{H\beta} k_{H\nu} k_{H\alpha} u T_{H2}}{\theta_H d_{\varepsilon_2}^3}} \leq [\sigma_H]$$

(H1 < 350НВ, H2 < 350НВ);

$$\theta_F = 0,85 + 0,04u$$

(H1 > 350НВ, H2 < 350НВ);

$$\theta_F = 0,65 + 0,11u$$

(H1 > 350НВ, H2 > 350НВ).

Розрахунок коефіцієнта  $k_{H\alpha}$  ведеться за значеннями коефіцієнта перекриття отриманого для еквівалентних циліндричних коліс.

### **Розрахунок зубчастих передач на згиальну витривалість**

$$\sigma_F = \frac{F_t k_{F\alpha} k_{F\beta} k_{F\nu}}{bm_n} y_F \leq [\sigma_F],$$

де коефіцієнти  $k_{F\alpha}, k_{F\beta}$ ,  $k_{F\nu}$  визначаються зведенням у ступінь N, коефіцієнтів використаних у розрахунках на контактну витривалість.

$$N = \frac{(b/h)^2}{(b/h)^3 + (b/h) + 1},$$

де  $h = 2m_n$  для косозубих і  $h = 2m_n/\epsilon\alpha$  для прямозубих коліс.

Розрахунок на згиальну витривалість конічних коліс проводиться для середнього перетину зуба.

$$\sigma_F = \frac{F_t k_{F\alpha} k_{F\beta} k_{F\nu}}{b\theta_F m_n} y_F \leq [\sigma_F],$$

де  $\theta_F = 0,94 + 0,08u$

### **Розрахунок черв'ячних передач**

$$a_w = 6100 \sqrt{\frac{T_{H2}}{[\sigma_H]^2}}.$$

По знайденому значенню міжосьової відстані визначають модуль  $m = (1,4-1,7) \frac{a_w}{z_2}$ , що округляють до стандартного. По модулю обирають коефіцієнт діаметру черв'яка  $q$  із стандартного ряду: 8, 10, 12.5, 14, 16, 20. Менші значення коефіцієнта  $q$  відповідають великим значенням модуля. Мінімально припустиме значення  $q$  вибирають з умови жорсткості черв'яка  $q = 0,212 * z_2$ .

Перевірочний розрахунок на контактну витривалість, побудований на основі тих же передумов, що і розрахунок зубчастих передач. У передачах з архімедовим черв'яком радіус кривизни профілю витка черв'яка  $\rho = \infty$ , з урахуванням цього формула

# "Курсове проектування деталей машин"

для розрахунку контактних напруг  $\sigma_H$  має вигляд

$$\sigma_H = \frac{5400}{z_1/q} \sqrt{\frac{T_2 k_{H\alpha} k_{H\beta} k_{Hv} (z_1/q + 1)}{a_w^3}} \leq [\sigma_H]$$

## **Розрахунок черв'ячних передач на згинальну витривалість**

Витки черв'яка значно міцніше зубів черв'ячного колеса. Тому ціль розрахунку запобігання поломки зубів черв'ячного колеса.

$$\sigma_F = \frac{F_t k_{Fa} k_{F\beta} k_{Fv} \cos \gamma}{d_2 m} y_F \leq [\sigma_F]$$

де  $y$  - коефіцієнт форми зубів, що вибирається по еквівалентному числу зубів

$$z_v = z_2 / \cos 2\gamma.$$

## **Розрахунок редукторів на нагрів**

Коефіцієнт корисної дії  $\eta$  залежить від втрат у зачепленні (урахування втрат через тертя в зачепленні здійснюється за допомогою коефіцієнта  $\Psi_{(z)}$ , втрат на тертя в опорах  $\Psi_{(o)}$ , втрат на збовтування олії  $\Psi_{(m)}$ , втрат на тертя в ущільненнях  $\Psi_{(y)}$ .

$$\eta = (1 - \Psi_z) / (1 + \Psi_{pro} + \Psi_m + \Psi_y).$$

Коефіцієнт втрат у зачепленні:

черв'ячних передач

$$\Psi_z = [1 - \tan(\gamma) / \tan(\gamma + \varphi)] + 0,5\pi f \epsilon_s / z_2,$$

зубчастих передач

$$\Psi_z = (1,5\pi f / \cos \beta) (1/z_1 + 1/z_2) \epsilon_a,$$

де  $\gamma$  - кут підйому витків черв'яка; кут тертя  $\varphi$  - кут тертя;  $f$  - коефіцієнт тертя в зачепленні;  $\epsilon_s$  - коефіцієнт перекриття в серединній площині черв'ячної передачі;  $\epsilon_a$  - коефіцієнт торцевого перекриття в зубчастій передачі;  $\beta$  - кут нахилу зубів;  $z_1$  і  $z_2$  - числа зубів.

Коефіцієнт тертя в зачепленні залежить від швидкості ковзання  $V$  (рис. 2.2), а в черв'ячних передачах і від матеріалу колеса (табл. 2.6).

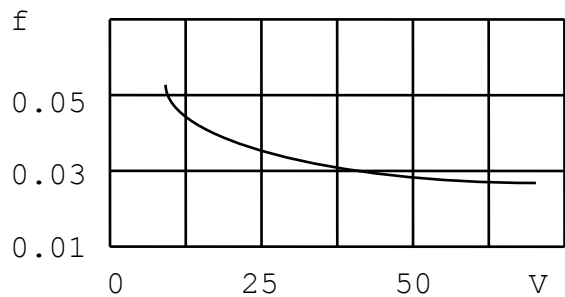


Рис. 2.2

Табл. 2.6

Швидкість ковзання м/с	Олов'я- нисті бронзи	Безоло- в'яністі бронзи	Ciri чавуни
0,01	0,11	0,18	0,2
0,1	0,085	0,14	0,16
0,25	0,07	0,1	0,11
0,5	0,06	0,09	0,1
1	0,05	0,075	0,09
2	0,04	0,055	0,07
4	0,028	0,045	-
5	0,026	0,035	-
10	0,024	-	-

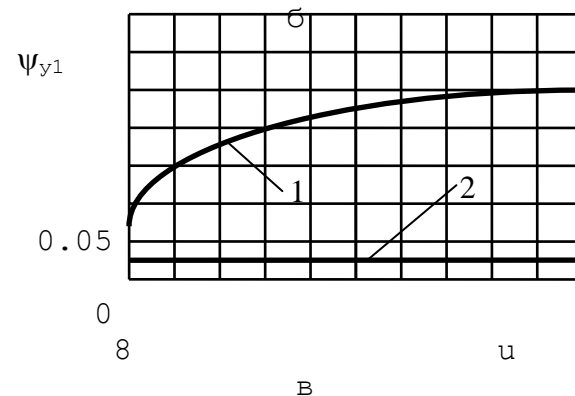
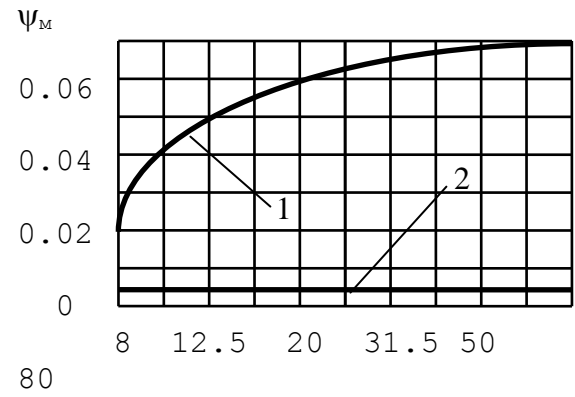
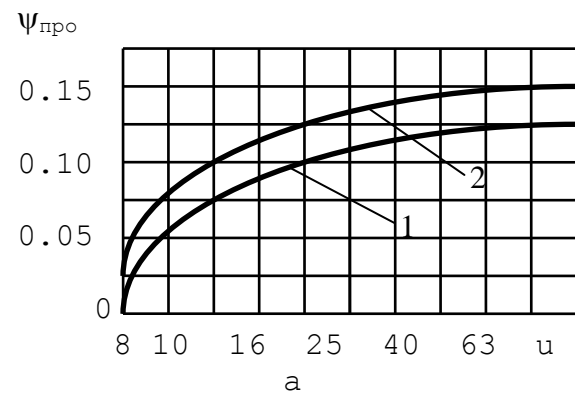


Рис. 2.3

Коефіцієнт перекриття в середній площині черв'ячного колеса

$$\varepsilon_s = \sqrt{[0.17(z_2 + x) + 0.34]^2 - (0.16z_2)^2} - 0.058z_2 + 1.01(1-x)$$

Коефіцієнт ( $\psi_o$ ) вибирається в залежності від передатного відношення  $u$  і типу опор: шарикопідшипники - 1; роликопідшипники - 2

# "Курсове проектування деталей машин"

Коефіцієнт ( $\psi_m$ ) вибирається в залежності від передатного відношення  $u$  і конструкції редуктора: черв'як під колесом - 1; колесо під черв'яком - 2

Коефіцієнт  $\psi_y = k_m * \psi_{y1}$  (див. рис. 2.3в). Значення коефіцієнта  $k_m$  у залежності від міжосьової відстані  $a_w$  і глибини занурення  $h$  черв'яка (ч) і колеса (к) в олію визначаються з таблиці 10.

Табл. 2.7

$a_w$	(ч) $h < 2m$ (к) $h < m_z/8$	При $t_m < [t_m]$ ( $[t_m] = 70^\circ$ при верхньому розташуванні черв'яка; $[t_m] = 50^\circ$ при нижньому розташуванні черв'яка) застосовують фреображення корпусу або штучне охолодження.
<80	0,4	
80-160	0,25	
>160	0,1	

Коефіцієнт ( $\psi_{y1}$ ) вибирається в залежності від передатного відношення  $u$  для вала черв'яка - 1; для вала колеса - 2. Для урахування загальних втрат в ущільненнях знайдені коефіцієнти підсумовуються.

Розрахунок к.к.д і втрат у зажепленні дозволяє визначити температуру олії в редукторі

$$t_m = N * (1 - \eta) * k_p / [(A * k_t) + t_b] < [t_m],$$

де  $N$  - передана потужність;  $t_m$  - температура олії;  $[t_m]$  - припустима температура олії;  $t_b$  - температура навколишнього повітря;  $k_t$  - коефіцієнт тепlop передачі;  $A$  - площа поверхні охолодження.

Табл. 2.8

Частота обертання черв'яка	$K_t$
750	15
1000	17,5
1500	22

При невиконанні умови  $t_m < [t_m]$  ( $[t_m] = 70^\circ$  при верхньому розташуванні черв'яка;  $[t_m] = 50^\circ$  при нижньому розташуванні черв'яка) застосовують фреображення корпусу або штучне охолодження.

Температура олії при наявності вентилятора визначається по формулі

$$t_m = N * (1 - \eta) * k_p / [(A * k_t) + (A_1 * k_{t1})] + t_b < [t_m],$$

де  $A_1$  - 30% площині поверхні що обдувається вентилятором;  $k_{t1} = 7 + 12 * 0,005 n_1$  (коєфіцієнт тепlop передачі для поверхні корпуса, яка обдувається).

Періодична робота редуктора враховується коефіцієнтом  $k_p = t_p / 60$ , де  $t_p$  - час роботи в протязі години.

# "Курсове проектування деталей машин"

## **Розрахунок припустимих напруг**

Припустимі контактні напруги визначають окремо для шестерні  $[\sigma]_{H1}$  і колеса  $[\sigma]_{H2}$ . Розрахункова припустима контактна напруга передачі

$$[\sigma]_H = 0,45 ([\sigma]_{H1} + [\sigma]_{H2}).$$

Ця напруга не повинна перевищувати: для циліндричних косозубих і шевронних коліс  $- 1,23 [\sigma]_{H2}$ ; для конічних коліс з круговим зубом  $1,15 [\sigma]_{H2}$ .

Контактна  $[\sigma]_H = [\sigma]_{Hlim} K_{HL}/S_H$  і згиальна  $[\sigma]_F = [\sigma]_{Flim} K_{FL}/S_F$  допустимі напруги відповідні тривалої контактної  $[\sigma]_{Hlim}$  і згиальної витривалості  $[\sigma]_{Flim}$ ;  $S_H$  і  $S_F$  - коефіцієнти безпеки по контактним і згиальним напругам;  $K_{HL}$  і  $K_{FL}$  - коефіцієнти довговічності по контактним і згиальним напругам.

$$K_{HL} = \sqrt[6]{N_{H0}/N_H}$$

Отримане значення коефіцієнта повинно лежати у межах  $2,4 > K_{HL} > 1$ . Розрахункове число циклів зміни напруг

$$N_H = 60c \sum (T_i/T_{1H})^3 n_i t_i,$$

де  $c$  - число зачеплень зуба за один оборот колеса;  $T_i$  - розмір  $i$ -го обертовального моменту;  $n_i$  - частота обертання (об/хв) того з коліс по матеріалу якого визнача-

ють припустимі напруги, що відповідають даному моменту;  $t_i$  - число годин роботи передачі при даному значенні моменту;  $T_{1H}$  - максимальний момент, що враховується при розрахунку. Базове число циклів залежить від твердості робочих поверхонь зубів  $N_{H0} = 30 * HB^{2,4}$ .

$$K_{FL} = \sqrt[9]{N_{F0}/N_F}$$

Отримане значення коефіцієнта повинно лежати в межах  $2 > K_{FL} > 1$ . Розрахункове число циклів зміни напруг

$$N_F = 60c \sum (T_i/T_{1F})^m n_i t_i,$$

де  $m$  дорівнює 6 для нормалізованих і поліпшених коліс і 9 для загартованих коліс. Базове число циклів при згині  $N_{F0} = 4 * 10^6$ .

Коефіцієнт безпеки  $S_H$ : для коліс з однорідною структурою  $S_H = 1,1$ , з поверхневим зміцненням  $S_H = 1,2$ . При згині коефіцієнт  $S_F$  складає  $1,7 \dots 2,2$ ; великі значення відповідають літим заготовлям.

У таблиці 2.9 наведені значення твердості зубів у залежності від марки стали і термічного опрацювання. Таблиця 2.10 дозволяє визначити орієнтовні значення припустимих напруг для проектного розрахунку. У таблиці 2.11 дані значення меж тривалої контактної  $[\sigma]_{Hlim}$  і згиальної витривалості  $[\sigma]_{Flim}$ . У таблиці 2.12 при-

## "Курсове проектування деталей машин"

---

ведені значення припустимих контактних напруг для матеріалів, із яких виготовляють черв'ячне колесо.

# "Курсове проектування деталей машин"

Табл. 2.9

Марка Сталі	Терміч- на обробка	Твер- дість серцеви- ни НВ	Твер- дість поверхні НВ
45	Поліп- шення	235... 260	235... 260
40Х	Поліп- шення Поліп- шення і загарту- вання ТВЧ	270... 300 270... 300	270... 300 45... 50HRC
40ХН 35ХМ	Поліп- шення Поліп- шення і загарту- вання ТВЧ	270... 300 270... 300	270... 300 48... 53HRC
20Х 18ХГТ 25ХГМ	Поліп- шення, цемента- ція і загарту- вання ТВЧ	300... 400	56... 63HRC

Табл. 2.10

Термо- оброб- ка	Група сталей	[ $\sigma$ ] <sub>H</sub> MPa	[ $\sigma$ ] <sub>F</sub> MPa
Поліп- шення	45, 40Х, 40ХН, 35ХМ	1,8HB+ 67	1,03HB
Загар- тування ТВЧ по кон- туру зу- бів	40Х, 40ХН, 35ХМ	14HRC+ 170	370
Загар- тування ТВЧ наскріз- не	40Х, 40ХН, 35ХМ	14HRC+ 170	310
Загар- тування і цемента- ція	20Х, 18ХГТ, 25ХГМ	19HRC	480

# "Курсове проєктування деталей машин"

Табл. 2.11

Термоо- бробка	Твер- дість	$\sigma_{Hlim}$ МПа	$\sigma_{Flim}$ Мпа
Поліп- шення	HB < 350	2HB+ 70	260+H B
Об'ємне загар- тування зубів	38...50 HRC	18HRC + 150	600
Загар- тування ТВЧ на- скрізь	40...55 HRC	17HRC + 200	45+ 19HRC
Загар- тування і цемен- тація	55...65 HRC	230 HRC	800

Табл. 2.12

Матері- ал	Ли- вар- ний способ	$[\sigma]_H$	$[\sigma]_F$
БрОНФ 10-1-1	ц	205	700
БрОФ 10-1	з	166	550
БрОЦС 5-5-5	к	105	500
БрАЖН 10-4-4	ц	76	450
БрАЖ9-4	к	275- 25*v <sub>s</sub>	850 750
СЧ15	-	175-	380
СЧ18		35*v <sub>s</sub>	430

Ливарні способи: ц -  
відцентровий, к - у кокіль,  
з - у землю.

# "Курсове проектування деталей машин"

## **Вибір підшипників кочення**

Підшипники кочення по напрямку сприйманого навантаження підрозділяють на радіальні, радіально-упорні і упорні підшипники.

Підшипники кочення підрозділяють по типі тіл кочення: кулькові і роликові.

Вибір типу підшипника здійснюють виходячи з наступних рекомендацій. При відсутності осьового навантаження (циліндричні прямозубі і шевронні передачі) вибирають радіальні підшипники: кулькові підшипники радіальні однорядні і роликопідшипники радіальні з короткими циліндричними роликами. Роликопідшипники мають більшу навантажувальну спроможність при однакових габаритах. Їх звичайно використовують при потужності редуктора більш 8 кВт. Роликопідшипники не здатні сприймати осьове навантаження  $F_A$ . Кулькові підшипники припускають невелике осьове навантаження ( $F_A=0,1*F_r$ ), наприклад, силами ваги деталей.

Кулькові підшипники радіально-упорні однорядні встановлюють при невеликих осьових навантаженнях створюваних передачами циліндричними косозубими і конічними прямозубими невеликої потужності. Роликопідшипники конічні однорядні використову-

ють при значних осьових навантаженнях у конічних передачах із круговими зубами і черв'ячних, а також при потужності редуктора більш 10кВт. Конічні роликопідшипники і радіально-упорні кулькові підшипники встановлюють попарно для усунення осьових зазорів. Кульковий підшипник сферичний дворядний сприймає осьове навантаження, не вимагає парної установки і допускає значні перекоси валів. Сферичний кульковий підшипник часто використовують в опорному вузлі черв'яка, що допускає самоустановку. Упорні підшипники встановлюють при осьових зусиллях переважаючих радіальні в опорних вузлах черв'яка і при вертикальному розташуванні валів.

Підшипники кочення підрозділяють на серії: легку, середню і важку. Підшипники середньої серії мають більшу навантажувальну спроможність чим підшипники легкої серії того ж внутрішнього діаметра і великих габаритів, аналогічно співвідношення між середньою і важкою серіями. Спочатку вибирають підшипники легкої серії. При однакової навантажувальній спроможності підшипників легкої серії більшого діаметра і підшипників середньої і важкої серій меншого внутрішнього діаметра - зовнішній

# "Курсове проектування деталей машин"

діаметр і ширина підшипника легкої серії менше ніж середньої, а середньої менше ніж важкої. Тому при недостатній навантажувальній спроможності опор краще вибирати підшипники більшого внутрішнього діаметра, а не підшипники іншої серії.

## **Розрахунок підшипників кочення на довговічність**

Підшипники кочення звичайно піддаються загальній дії радіального  $F_r$  і осьового  $F_A$  навантажень, робота їх супроводжується поштовхами й ударами, підвищеннем температури. Вплив цих чинників на довговічність підшипника враховується за допомогою розрахунку еквівалентного навантаження

$$P = (F_r * V * X + F_A * Y) * K_T * K_b,$$

де  $V$  - коефіцієнт обертання, що враховує яке з кільцець обертається ( $V = 1$  при обертанні внутрішнього кільця і  $V = 1,2$  при обертанні зовнішньої кільця);

$K_b$  - коефіцієнт безпеки, що враховує динамічне навантаження (для передач 5 і 6 ступенів точності  $K_b = 1,1 - 1,3$ ; а 7, 8 ступенів точності і черв'ячних передач -  $K_b = 1,3 - 1,5$ , при 9 ступеня точності -  $K_b = 1,8 - 2,5$ );

$K_T$  - температурний коефіцієнт, що враховує підвищення робочої температури ( $K_T = 1$  при  $t < 105^{\circ}\text{C}$  і  $K_T = (108 + 0,4t)/150$  при  $t = 105 - 200^{\circ}\text{C}$ ;

$X$  і  $Y$  - коефіцієнти радіального й осьового навантажень, які залежать від величини коефіцієнта  $e$ , що у свою чергу задається відношенням  $F_A/C_r$  для радіально-упорних кулькових підшипників, конічних роликопідшипників і відношенням  $F_A/F_R$  для сферичних кулькових підшипників. Значення коефіцієнтів  $X$  і  $Y$  зазначені в довідкових таблицях додатка для сферичних кулькових підшипників і конічних роликопідшипників безпосередньо для кожного типорозміру. У конічних роликопідшипниках при  $F_A/VF_R \leq e$  коефіцієнт  $X=1$ , а  $Y=0$  при  $F_A/VF_R \geq e$   $X=0,4$ ; а - значення коефіцієнта  $Y$  зазначені в таблицях додатків. Аналогічним способом вибирають коефіцієнти радіального й осьового навантажень для радіально-упорних кулькових підшипників із збільшеним кутом конуса.

На підставі експериментальних досліджень встановлений зв'язок між довговічністю підшипника, що вимірюється в мільйонах оборотів і діючої на нього навантаженням  $P$

# "Курсове проектування деталей машин"

$$L = (C_r / P)^m,$$

де  $m$  - показник ступеня рівний 3 для кулькових підшипників і 3,33 для роликових підшипників,  $C$  - динамічна вантажопідйомність (постійне навантаження який підшипник може витримувати протягом  $10^6$  обертів).

Довговічність підшипника, виражена в годинах

$$L_h = \frac{10^6 L}{60n},$$

де  $n$  - частота обертання вала.

Необхідна довговічність підшипника визначається техніко-економічними показниками і вибирається тим більшою, чим важливіша безперебійна робота машини, вище трудомісткість заміни підшипника. Бажано щоб ресурс підшипника і термін служби машини були рівні або кратні. Звичайно нормативна довговічність підшипників повинна складати не менше 10000 ч (зубчасті редуктори) або, принаймні, 5000ч (черв'ячні редуктори).

## **Розрахунок зусиль діючих на підшипники кочення. Конструкції опорних вузлів.**

Якщо вал встановлений в радіально-упорних

кулькових підшипниках осьові сили діючі на підшипники: лівий  $F_{Al}$  і правий  $F_{Ap}$ , знаходять з урахуванням осьових складових  $S_{Al}$  і  $S_{Ap}$  через дію радіальних сил  $F_{Rl}$ ,  $F_{Rp}$ ;  $S_{Al} = F_{Rl} / (2 * Y)$ ,  $S_{Ap} = F_{Rp} / (2 * Y)$ , для кулькових підшипників при куті контакту (кут між нормальню, до поверхні тіл кочення і кілець, і вертикальною лінією)  $\alpha < 18^\circ$ ;  $S_A = eF_R$  для кулькових підшипників при куті контакту  $\alpha > 18^\circ$ ;  $S_A = 0,83eF_R$  для роликових підшипників.

Для нормальню роботи радіально-упорних підшипників необхідно щоб виконувалася умова

$$F_{Rl} > S_{Al}; F_{Rp} > S_{Ap}.$$

Залежності для визначення результируючого осьового зусилля  $F_a$  при різних схемах опорних вузлів і співвідношеннях радіальних і осьових зусиль у підшипнику зведені в таблицю 5.1.

Табл. 5.1.

$S_{Al} < S_{Ap}$	-	$F_{Al} = F_a + S_{Ap}$	$F_{Ap} = S_{Ap}$
$S_{Al} > S_{Ap}$	$F_a > S_{Al} - S_{Ap}$	$F_{Al} = F_a + S_{Ap}$	$F_{Ap} = S_{Ap}$
$S_{Al} > S_{Ap}$	$F_a > S_{Al} - S_{Ap}$	$F_{Al} = S_{Al} - F_a$	$F_{Ap} = S_{Al} - F_a$

## "Курсове проектування деталей машин"

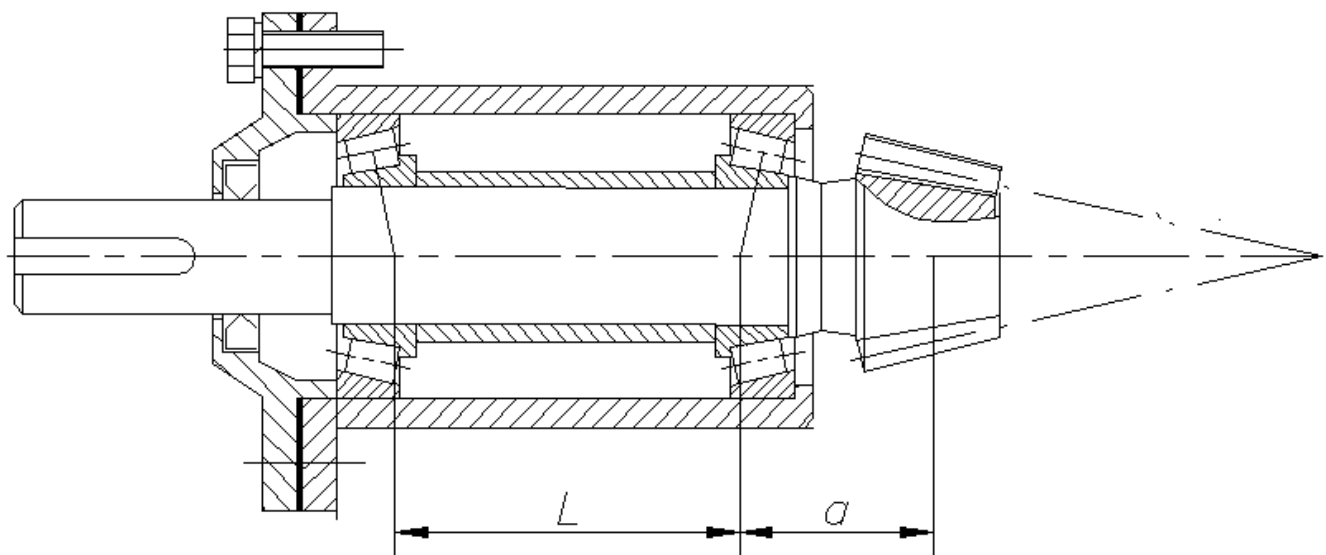
Опорні вузли конічних шестерень звичайно виконують консольними. Необхідна жорсткість опорного вузла досягається, як за рахунок добору підшипників відповідного типорозміру, встановлених із попереднім натягом; так і за рахунок необхідного відношення  $L/a = 2,5 \dots 3$  ( $L$  - відстань між опорами,  $a$  - відстань від середини зубчастого вінця до ближньої опори). Необхідне відношення  $L/a$  ( $L/a = 3$ ) реалізовано в конструкції опорного вузла за схемою "О" (б); у схемі "Х" (а) відношення  $L/a$  ( $L/a = 1$ ) неприпустимо мало і відстань між опорами, а відповідно і габарити опорного вузла необхідно збільшити (рис.5.1). У випадку якщо опорні вузли, виконані по схемах "Х" і "О" мають однакові габарити - жорсткість опорного вузла за схемою "О" завжди вище. При однаковому відношенні  $L/a$ , у зазначених схемах, габарити опорного вузла за схемою "О" завжди менше. У такий спосіб із погляду мінімальних габаритів і маси схема "О" є оптимальної.

Ще більший вигран у габаритах і масі опорного вузла можна досягти, застосовуючи підшипники більшого діаметра з підвищеними кутами контакту  $\alpha$  ( $\alpha=24^\circ$ ).

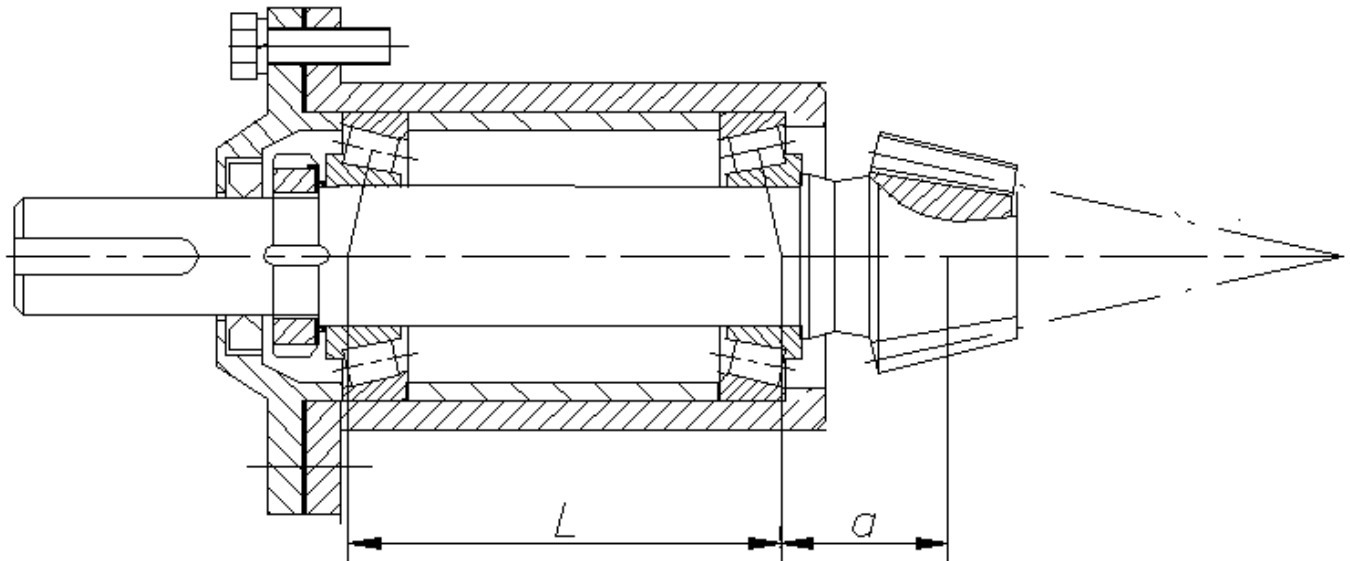
Для створення попереднього натягу конічні роликопідшипники встановлюють попарно. У схемі "Х" натяг створюється затягуванням гвинтів фіксуючих кришку. У схемі "О", у підшипнику ближньому до шестерні, створюється натяг осьовим зусиллям у зачепленні. Натяг у другому підшипнику створюється кільцем, розташованим на ділянці вала з різьбленим. У схемі "О" складніше конструкція вала і є додаткова деталь; таким чином, із погляду трудомісткості виготовлення і зручності монтажу схема "Х" є кращої. У консольних опорних вузлах перший підшипник (розташований поблизу шестерні) навантажений у декілька разів більше чим другий підшипник. У передачах автомобілів типорозмір першого підшипника на один два номери більше чим другого. У типажних редукторах із метою уніфікації звичайно встановлюють підшипники однакового типорозміру. При цьому керуються принципом уніфікації елементів редуктора. У двохступінчатих циліндричних редукторах із метою уніфікації часто встановлюють однакові підшипники на швидкохідному і проміжному валах.

# **"Курсове проектування деталей машин"**

---

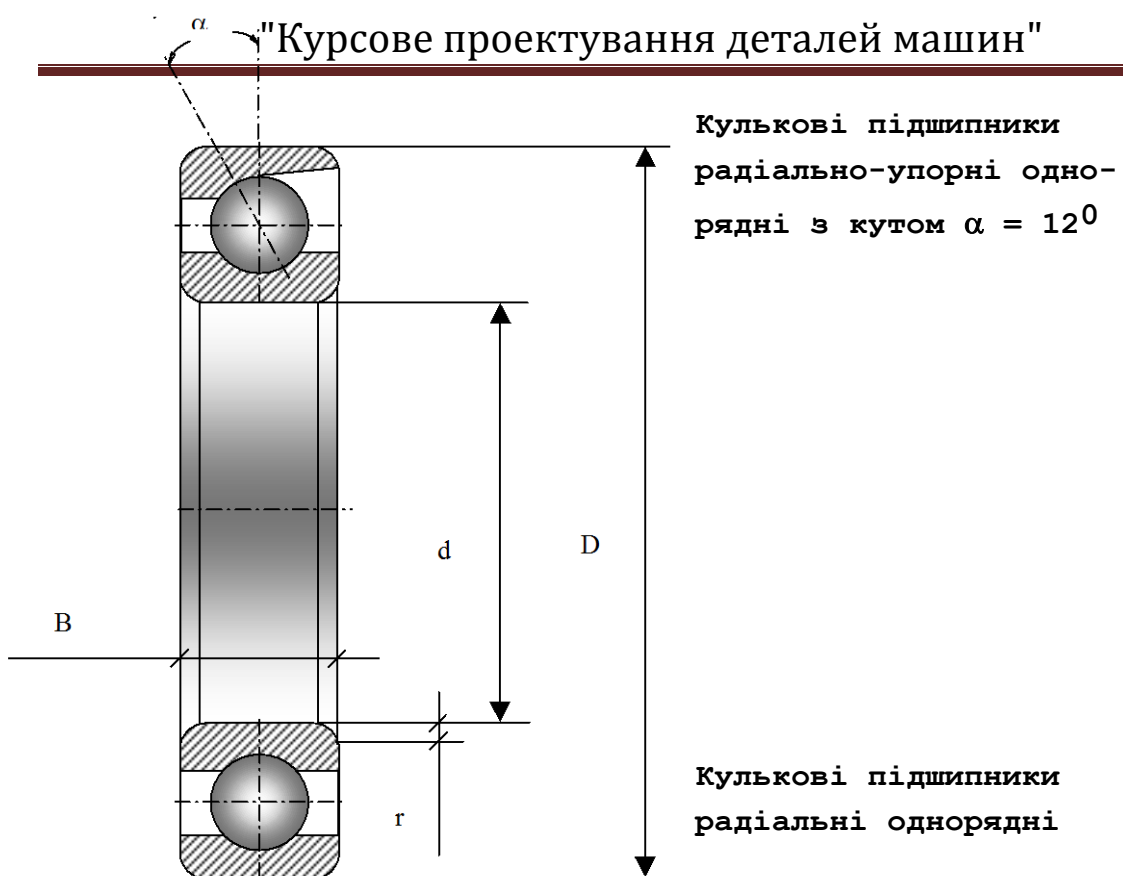


*a*



*б*

Рис. 5.1



$D$  - зовнішній діаметр;  
 $d$  - внутрішній діаметр;  
 $B$  - ширина підшипника;  
 $r$  - радіус скруглення;  
 $\alpha$  - кут контакту;  
 $\emptyset$  - умовне позначення підшипника;  
 $C_r$  - динамічна вантажопідйомність в кН.

Радіус тіл кочення

$$R = 0,16(D - d)$$

Товщина внутрішнього кільця

$$S = 0,15(D - d)$$

# "Курсове проектування деталей машин"

**Кулькові підшипники  
радіальні однорядні**

Легка серія діаметрів.

<b>∅</b>	<b>d</b>	<b>D</b>	<b>B</b>	<b>r</b>	<b>C<sub>r</sub> □</b>
202	15	35	11	1,0	5,97 □
204	20	47	14	1,5	10,0 □
205	25	52	15	1,5	11,0 □
206	30	62	16	1,5	15,3
207	35	72	17	2,0	20,1 □
208	40	80	18	2,0	25,6 □
209	45	85	19	2,0	25,7 □
210	50	90	20	2,0	27,5 □
211	55	100	21	2,5	34,0 □
212	60	110	22	2,5	41,1 □
213	65	120	23	2,5	44,9 □
214	70	125	24	2,5	48,8 □
215	75	130	25	2,5	51,9 □
216	80	140	26	3,0	57,0 □
217	85	150	28	3,0	65,4 □
218	90	160	30	3,0	75,3 □
219	95	170	32	3,5	85,3 □
220	100	180	34	3,5	95,8 □

**Кулькові підшипники  
радіальні однорядні**

Середня серія діаметрів.

<b>∅</b>	<b>d</b>	<b>D</b>	<b>B</b>	<b>r</b>	<b>C<sub>r</sub> □</b>
302	15	42	13	1,5	8,9 □
304	20	52	15	2,0	12,5 □
305	25	62	17	2,0	17,6 □
306	30	72	19	2,0	22,0 □
307	35	80	21	2,5	26,2 □
308	40	90	23	2,5	31,9 □
309	45	100	25	2,5	37,8 □
310	50	110	27	3,0	48,5 □
311	55	120	29	3,0	56,0 □
312	60	130	31	3,5	64,1 □
313	65	140	33	3,5	72,7 □
314	70	150	35	3,5	81,7 □
315	75	160	37	3,5	89,0 □
316	80	170	39	3,5	96,5 □
317	85	180	41	4,0	104,0 □
318	90	190	43	4,0	112,0 □
319	95	200	45	4,0	120,0 □
320	100	215	47	4,0	136,0 □

# "Курсове проектування деталей машин"

**Кулькові підшипники  
радіально-упорні однорядні  
з кутом контакту  $\alpha = 12^0$**

Легка серія діаметрів.

**Кулькові підшипники  
радіально-упорні однорядні  
з кутом контакту  $\alpha = 12^0$**

Середня серія діаметрів.

$\Theta$	d	D	B	r	$C_r \square$
36202	15	35	11	1,0	6,38 $\square$
36204	20	47	14	1,5	12,3 $\square$
36205	25	52	15	1,5	13,1 $\square$
36206	30	62	16	1,5	18,2 $\square$
36207	35	72	17	2,0	24,0 $\square$
36208	40	80	18	2,0	30,6 $\square$
36209	45	85	19	2,0	32,3 $\square$
36210	50	90	20	2,0	33,9 $\square$
36211	55	100	21	2,5	41,9 $\square$
36212	60	110	22	2,5	48,2 $\square$
36214	70	125	24	2,5	63,0 $\square$

$\Theta$	d	D	B	r	$C_r \square$
36302	15	42	13	1,5	10,4 $\square$
36304	20	52	15	2,0	13,1 $\square$
36305	25	62	17	2,0	22,0 $\square$
36306	30	72	19	2,0	26,9 $\square$
36307	35	80	21	2,5	35,0 $\square$
36308	40	90	23	2,5	41,3 $\square$
36309	45	100	25	2,5	50,5 $\square$
36310	50	110	27	3,0	59,2 $\square$
36312	60	130	31	3,5	83,0 $\square$

# "Курсове проектування деталей машин"

Значення коефіцієнтів  $X$  и  $Y$  в залежності від співвідношення осьового навантаження  $F_A$  і динамічної вантажопідйомності  $C_r$ .

**Кулькові підшипники  
радіально-упорні однорядні  
з кутом контакту**

$$\alpha = 26^0$$

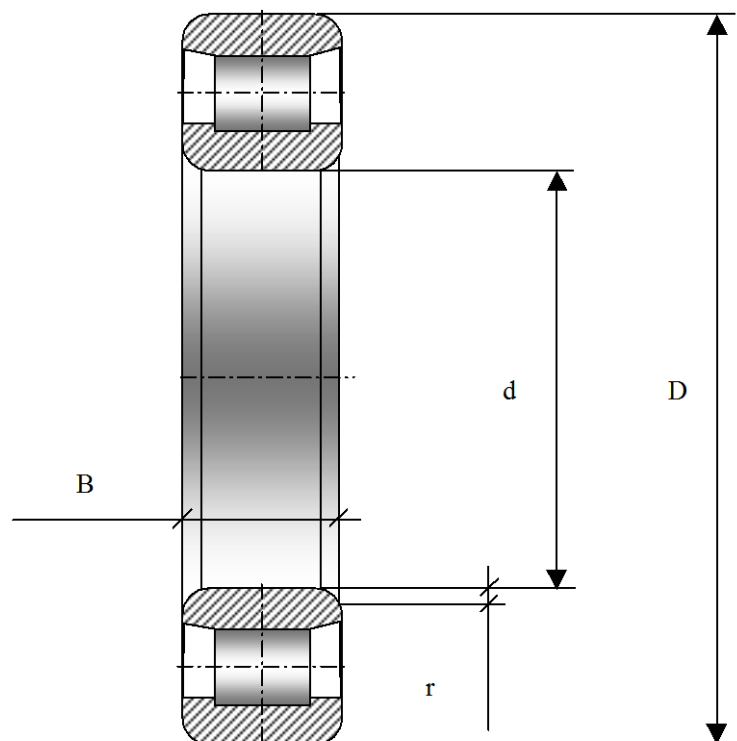
Середня серія діаметрів.

$\alpha$ град	$F_A/C_r$	X	Y	e
12	0,014	0,45	1,81	0,30
12	0,029	0,45	1,62	0,34
12	0,057	0,45	1,46	0,37
12	0,086	0,45	1,34	0,41
12	0,11	0,45	1,22	0,45
12	0,17	0,45	1,13	0,48
12	0,29	0,45	1,04	0,52
12	0,43	0,45	1,01	0,54
12	0,57	0,45	1,00	0,54

@	d	D	B	r	$C_r$
46304	20	52	15	2,0	14,0
46305	25	62	17	2,0	21,1
46306	30	72	19	2,0	25,6
46307	35	80	21	2,5	33,4
46308	40	90	23	2,5	39,2
46309	45	100	25	2,5	48,1
46310	50	110	27	3,0	56,3
46311	55	120	29	3,0	68,9
46312	60	130	31	3,5	78,8

При  $F_A/VF_r \leq 0,68$  значення коефіцієнтів  $X=1$  і  $Y=0$ , а при  $F_A/VF_r > e$  -  $X=0,41$  и  $Y=0,87$ .

**Роликопідшипники  
радіальні з короткими  
циліндричними роликами**



**D** - зовнішній діаметр;  
**d** - внутрішній діаметр;  
**B** - ширина підшипника;  
**r** - радіус скруглення;  
 $\Theta$  - умовне позначення підшипника;  
**C<sub>r</sub>** - динамічна вантажопідйомність в кН.

Радіус тіл кочення

$$R = 0,16(D - d)$$

Товщина внутрішнього кільця

$$S = 0,15(D - d)$$

# "Курсове проектування деталей машин"

## Роликопідшипники радіальні з короткими циліндричними роликами

Легка серія діаметрів.

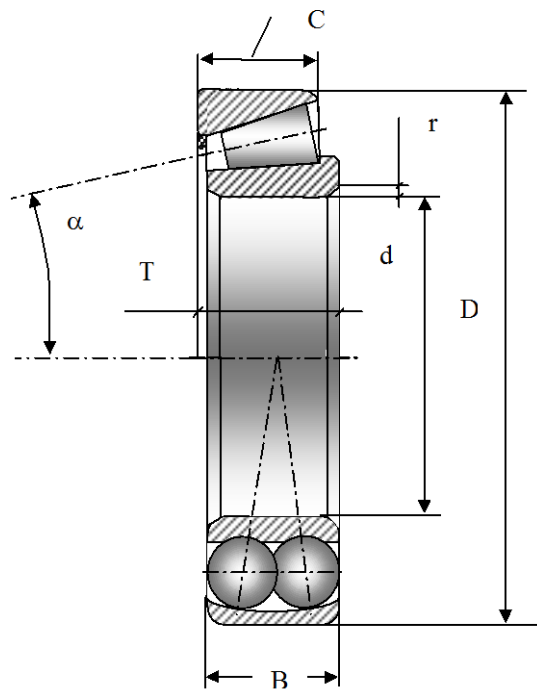
$\Theta$	d	D	B	r	$C_r \square$
2204	20	47	14	1,5	11,9 $\square$
2205	25	52	15	1,5	13,4 $\square$
2206	30	62	16	1,5	17,3 $\square$
2207	35	72	17	2,0	25,6 $\square$
2208	40	80	18	2,0	33,7 $\square$
2209	45	85	19	2,0	35,3 $\square$
2210	50	90	20	2,0	38,7 $\square$
2211	55	100	21	2,5	43,7 $\square$
2212	60	110	22	2,5	54,8 $\square$
2213	65	120	23	2,5	62,1 $\square$
2214	70	125	24	2,5	61,8 $\square$
2215	75	130	25	2,5	75,4 $\square$

## Роликопідшипники радіальні з короткими циліндричними роликами

Середня серія діаметрів.

$\Theta$	d	D	B	r	$C_r \square$
2305	25	62	17	2,0	22,6 $\square$
2306	30	72	19	2,0	30,2 $\square$
2307	35	80	21	2,5	34,1 $\square$
2308	40	90	23	2,5	41,0 $\square$
2309	45	100	25	2,5	56,5 $\square$
2310	50	110	27	3,0	65,2 $\square$
2311	55	120	29	3,0	84,0 $\square$
2312	60	130	31	3,5	100,0 $\square$
2313	65	140	33	3,5	105,0 $\square$
2314	70	150	35	3,5	123,0 $\square$
2315	75	160	37	3,5	142,0 $\square$

**Роликопідшипники конічні  
однорядні з кутом  $\alpha=12^\circ$**



**Кулькові підшипники  
сферичні двохрядні**

**D** - зовнішній діаметр;  
**d** - внутрішній діаметр;  
**B** - ширина підшипника;  
**r** - радіус скруглення;  
 **$\alpha$**  - кут контакту;  
 $\Theta$  - умовне позначення підшипника;  
 **$C_r$**  - динамічна вантажопідйомність в кН.

Радіус тіл кочення сферичних підшипників

$$R = 0,125(D - d).$$

Товщина внутрішнього кільця сферичних підшипників

$$S = 0,17(D - d).$$

# "Курсове проектування деталей машин"

**Конічні роликопідшипники  
з кутом  $\alpha=12^\circ$**

**Конічні роликопідшипники  
з кутом  $\alpha=12^\circ$**

Легка серія діаметрів.

Середня серія діаметрів.

$\varnothing$	d	D	$T_{max}$	B	C	r	$C_r$
7204	20	47	15,5	14	12	1,5	19,1
7206	30	62	17,5	16	14	1,5	29,8
7208	40	80	20	19	16	2,0	42,4
7210	50	90	22	21	17	2,0	52,9
7212	60	110	24	23	19	2,5	72,2
7214	70	125	26,5	26	26	2,5	95,9
7216	80	140	28,5	26	28	3,0	106
7218	90	160	33	31	31	3,0	141

$\varnothing$	d	D	$T_{max}$	B	C	r	$C_r$
7304	20	52	16,5	16	13	2,0	26
7306	30	72	21	19	17	2,0	43
7308	40	90	25,5	23	20	2,5	66
7310	50	110	29,5	29	23	3,0	100
7312	60	130	34	31	27	3,5	128
7314	70	150	38,5	37	30	3,5	170

# "Курсове проектування деталей машин"

Значення коефіцієнтів  $X$  і  $Y$  в залежності від співвідношення осьового навантаження  $F_A$  і динамічної вантажопідйомності  $C_r$ .

Легка серія діаметрів.

$\varnothing$	$e$	$Y\square$
7204	0,360	1,666\square
7206	0,365	1,645\square
7208	0,383	1,565\square
7210	0,374	1,604\square
7212	0,351	1,710\square
7214	0,369	1,624\square
7216	0,421	1,426\square
7218	0,383	1,565\square

Середня серія діаметрів.

$\varnothing$	$e$	$Y\square$
7304	0,300	2,030\square
7306	0,337	1,780\square
7308	0,278	2,158\square
7310	0,310	1,937\square
7312	0,305	1,966\square
7314	0,310	1,940\square

**Конічні роликопідшипники  
з збільшеним кутом  $\alpha$ .**

$@$	$d$	$D$	$\alpha$	$T_h$	$B$	$C$	$r$	$C_r$
27306	30	72	26	21	19	14	2,0	30,0
27308	40	90	28	25,5	23	17	2,5	48,4
27310	50	110	28	29,5	27	19	3,0	69,3
27312	60	130	25	34	31	22	3,5	80,5
27313	65	140	27	36,5	33	23	3,5	89,0
27315	75	160	29	40,5	37	26	3,5	119

Значення коефіцієнтів  $X$  і  $Y$  в залежності від співвідношення осьового навантаження  $F_A$  і динамічної вантажопідйомності  $C_r$ .

$\varnothing$	$e$	$Y\square$
27306	0,72	0,833\square
27308	0,79	0,76\square
27310	0,80	0,75\square
27312	0,70	0,86\square
27313	0,75	0,80\square
27315	0,83	0,73\square

# "Курсове проектування деталей машин"

## Сферичні кулькові підшипники

Легка серія діаметрів.

$\varnothing$	d	D	B	r	$C_r$	e
1204	20	47	14	1,5	7,72	0,273
1206	30	62	16	1,5	12,2	0,244
1208	40	80	18	2,0	15,1	0,219
1210	50	90	20	2,0	17,7	0,214
1212	60	110	22	2,5	23,8	0,185
1214	70	125	24	2,5	27,0	0,179
1216	80	140	26	3,0	31,4	0,160

Значення коефіцієнтів X і Y в залежності від співвідношення осьового навантаження  $F_A$  і динамічної вантажопідйомності  $C_r$ .

$\varnothing$	e	$F_A/F_r \leq e$		$F_A/F_r \geq e$	
		Y	X	Y	X
1204	0,27	2,31	1,0	3,57	0,65
□	□	□		3,99	
1206	0,24	2,58		4,44	
□	□	□		4,85	
1208	0,22	2,87		5,27	
□	□	□		5,43	
1210	0,21	3,13		6,25	
□	□	□			
1212	0,19	3,40			
□	□	□			
1214	0,18	3,50			
□	□	□			
1216	0,16	3,97			
□	□	□			

# "Курсове проектування деталей машин"

## **Сферичні кулькові підшипники**

Середня серія діаметрів.

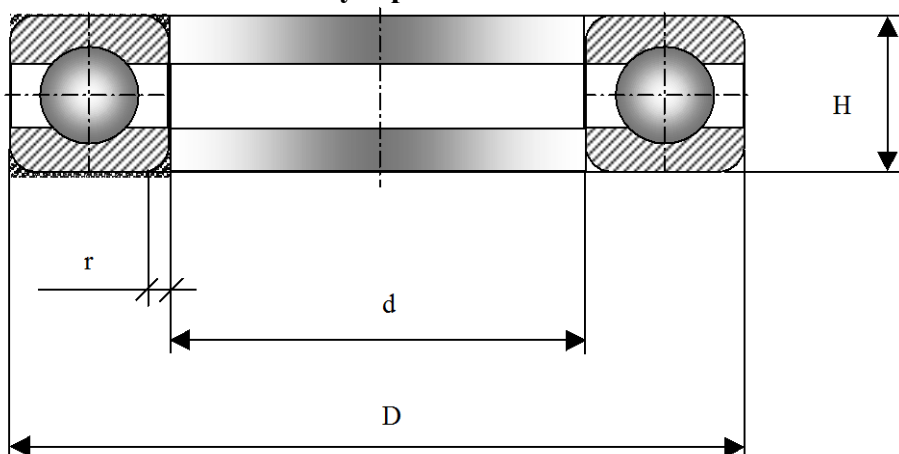
Значення коефіцієнтів  $X$  і  $Y$  в залежності від співвідношення осьового навантаження  $F_A$  і динамічної вантажопідйомності  $C_r$ .

$\varnothing$	$d$	$D$	$B$	$r$	$C_r$	$e \square$
1304	20	52	15	2,0	9,76	0,29 $\square$
1306	30	72	19	2,0	16,8	0,26 $\square$
1308	40	90	23	2,5	23,3	0,23 $\square$
1310	50	110	27	3,0	34,1	0,24 $\square$
1312	60	130	31	3,5	45,8	0,23 $\square$
1314	70	150	35	3,5	58,6	0,22 $\square$

$\varnothing$	$e$	$F_A/F_r \leq e$		$F_A/F_r \geq e$	
		$Y$	$X$	$Y$	$X$
1304	0,29 $\square$	2,17 $\square$		3,35	
1306	0,26 $\square$	2,46 $\square$	1,0	3,80	0,65
1308	0,23 $\square$	2,61 $\square$		4,05	
1310	0,24 $\square$	2,68 $\square$		4,14	
1312	0,23 $\square$	2,80 $\square$		4,33	
1314	0,22 $\square$	2,81 $\square$		4,35	
1315	0,22 $\square$	2,84 $\square$		4,39	

# "Курсове проектування деталей машин"

## Кулькові підшипники упорні



**D** - зовнішній діаметр; **d** - внутрішній діаметр; **H** - ширина підшипника; **r** - радіус скруглення; **⊖** - умовне позначення підшипника; **C<sub>r</sub>** - динамічна вантажопідйомність в кН.

Радіус тіл кочення **R = 0,125 (D - d)**.

Легка серія діаметрів.

⊖	d	D	H	r	C <sub>r</sub> ⊖
8204	20	40	14	1,0	15,8 □
8205	25	47	15	1,0	20,4 □
8206	30	52	16	1,0	23,0 □
8207	35	62	18	1,5	31,6 □
8208	40	68	19	1,5	37,5 □
8209	45	73	20	1,5	39,5 □
8210	50	78	22	1,5	46,0 □
8211	55	90	25	1,5	56,6 □
8212	60	95	26	1,5	65,8 □
8213	65	100	27	1,5	65,8 □
8214	70	105	27	1,5	65,8 □
8215	75	110	27	1,5	68,4 □

# РОЗДІЛ III

Організація  
проектування  
у середовищі  
AutoCAD.

## **Організація розрахунків на міцність деталей машин**

Наявність програмних комплексів інженерного аналізу дозволяє по-новому організувати проектні і перевірочні розрахунки деталей машин. Найбільше відомі комплекси - Pro-Ingeneer, COSMOS, ADAMS. Практично стандартом для комплексів інженерного аналізу є реалізація методу скінчених елементів, розв'язання задач тепlopровідності, моделювання кінематики і динаміки механізмів. Ідентична і будова пакетів - графічний предпроцесор із можливістю обміну даними з програмами CAD, власне процесор з розрахунків на міцність на базі скінчено-елементних моделей і постпроцесор, що вирішує завдання візуалізації, включаючи фотoreалістичну анімацію.

Відмінною рисою програмного продукту компанії MDI - ADAMS є наявність великої кількості спеціалізованих розрахункових модулів, адаптованих для різних галузей машинобудування. Всі модулі

можуть бути зібрані в єдиний комплекс. Моделюючий модуль ADAMS/View - це графічний пред- і постпроцесор. Він створює інтерактивне графічне середовище моделювання механічних систем і опрацювання результатів їхнього аналізу у вигляді графіків, таблиць і анімації. Робота з модулем не жадає від студента знайомства з новими поняттями в порівнянні з процесом створення й іспитів реальної фізичної моделі. ADAMS/View надає можливість створювати як одну модель, так і ціле сімейство виробів із перемінними конструктивними параметрами для параметричного аналізу або оптимізації за потрібним критерієм. Спеціалізований прикладний модуль ADAMS/Rail призначений для проектування й аналізу рейкового рухливого складу різних типів. Він дозволяє створювати моделі шляху, взаємодії колеса і рейки, колісних пар, віzkiv, корпусів транспортних засобів з автоматичним складанням у систему для проведення статичного, кінематичного,

динамічного аналізу руху. Модуль проектування й аналізу автомобільних підвісок ADAMS/Vehicle має бібліотеку стандартних підвісок, обчислювальний блок статичного і динамічного аналізу транспортних засобів, графічний постпроцесор для одержання графіків і таблиць стандартних промислових характеристик. Модуль ADAMS/Tire призначений для моделювання взаємодії колеса і дороги. Не мають аналогів серед інших програмних комплексів модулі: ADAMS/Driver - імітаційного моделювання дій водія щодо керування автомобілем; ADAMS/Android - реалістична динамічна модель людського тіла.

Дослідження напруженодеформованого стану і явищ втоми проводиться в процесі скінчено-елементного аналізу розрахунковому модулі ADAMS/Solver. Це основний модуль, що також формує і вирішує рівняння руху механічних систем, формує результати аналізу у вигляді, необхідному для постпроцесорного опрацювання засобами ADAMS/View. Розв'язок задач

скінчено-елементного аналізу є тематикою науково-дослідних студентських робіт.

Найбільшою мірою для розв'язання навчальних задач підходять пакет Mechanical Desktop, розроблений, як і AutoCAD фірмою Autodesk, та Mechsoft. Ці пакети інтегровані з AutoCAD і значно простіші, в них розрахунки базуються на відповідних стандартах.

Mechanical Desktop має спеціалізований CAD модуль для проектування деталей машин машинобудівного призначення. Він дозволяє в діалоговому режимі проектувати різьбові з'єднання і створювати кругові і прямокутні масиви кріпильних елементів. Реалізовано проектування зварних конструкцій із стандартних профілів. Mechanical Desktop містить усі необхідні інструменти для проектування деталей на зразок тіл обертання з урахуванням реальної технології виготовлення (Рис.3.1). Тіла обертання можуть складатися з циліндричних, конусних, шліцьових, зубчастих та ін-

ших елементів (Рис.3.1а).  
Проектування можливо як у покроковому режимі - із поступовним додаванням необхідних елементів тіла обертання, так і в режимі доповнень і змін. Формуються автоматично технологічні (канавка для виходу інструмента) і конструктивні (мастильні отвори, стопорні і ущільню-

вальні кільця, шпонки і шпонкові пази) елементи. Найбільш вдало реалізовані інженерні розрахунки деталей машин. Так, на основі розрахункової схеми вала, у якій зазначені прикладені сили і моменти, а також розташування опор, визначаються: попеченні сили, згинаючі моменти (б), прогин валу (Рис.3.1б).

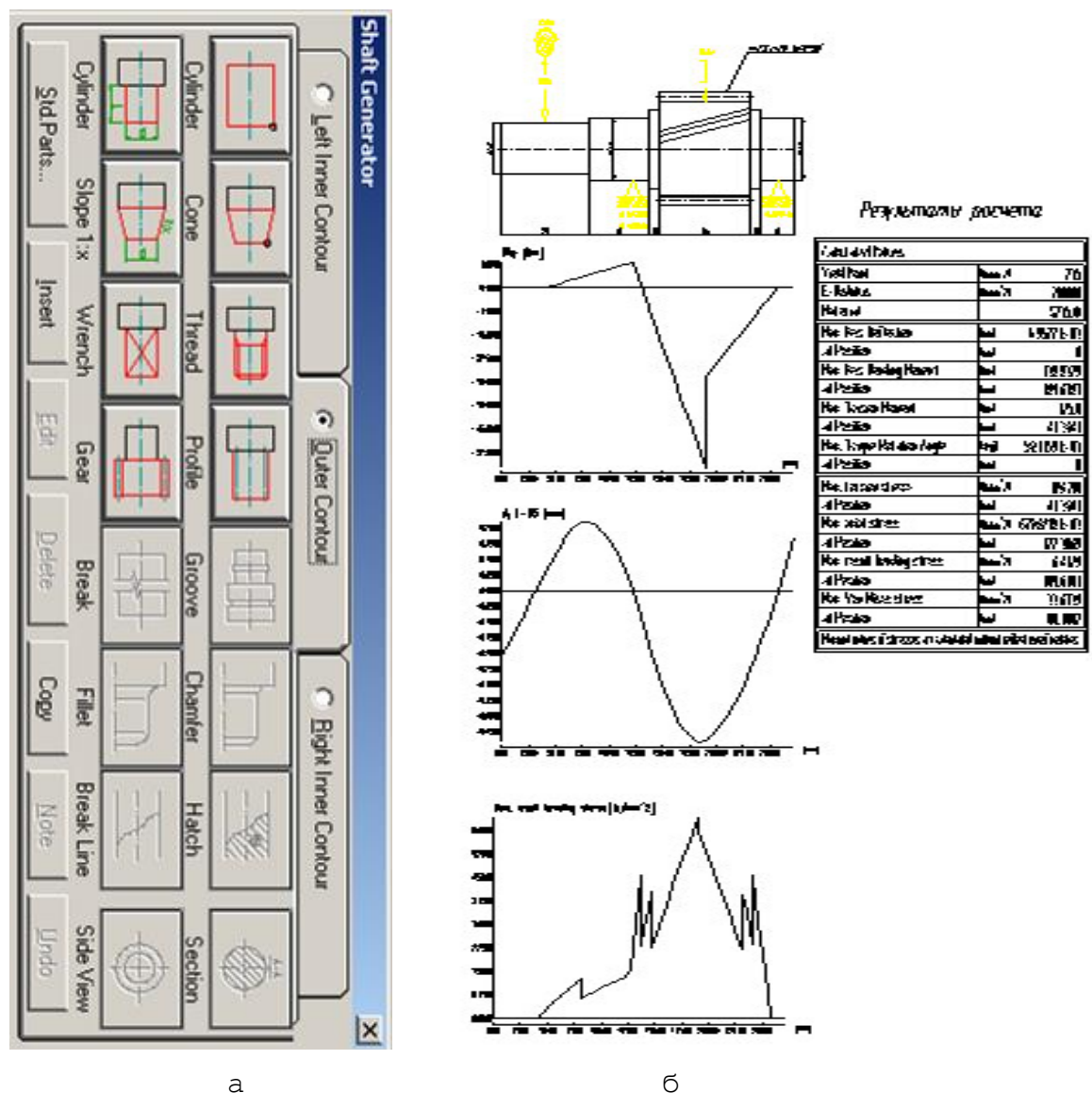
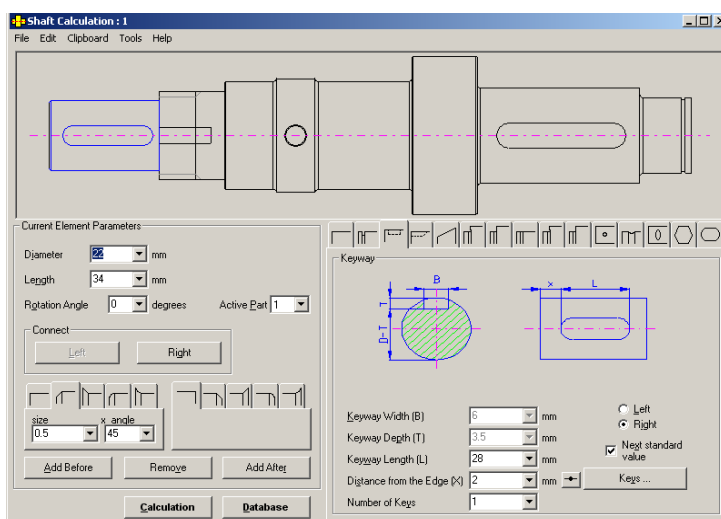


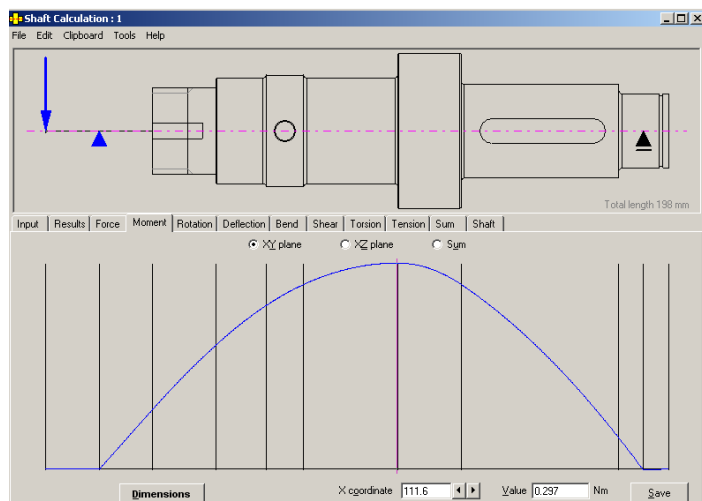
Рис. 3.1

Аналогічний модуль реалізований у програмному комплексі Mechsoft (Рис. 3.2). Найбільш докладно опрацьовані питання проектування фа-

сок, шпонкових пазів, канавок для виходу інструменту і під кільця ущільнюючі і фіксуючі.



а



б

Рис. 3.2

Розрахунок зубчастої передачі ведеться на основі даних кінематичного аналізу приводу. Результатами розра-

хунку є: геометричні характеристики зубчастої передачі; дані для контролю точності; напруги фактичні і припустимі як при розрахунку

контактної і згинальної витривалості зубів, так і при розрахунку зубів на дію пікового навантаження (Рис.3.3).

Система HELP дозволяє вивчати методику розрахунку зубчастих передач по стандартах

ISO, DIN, ДЕРЖСТАНДАРТ. Відмінна риса розрахункового модуля зубчастих передач – можливість порівняльного аналізу результатів розрахунку за різними стандартами (Рис.3.4).

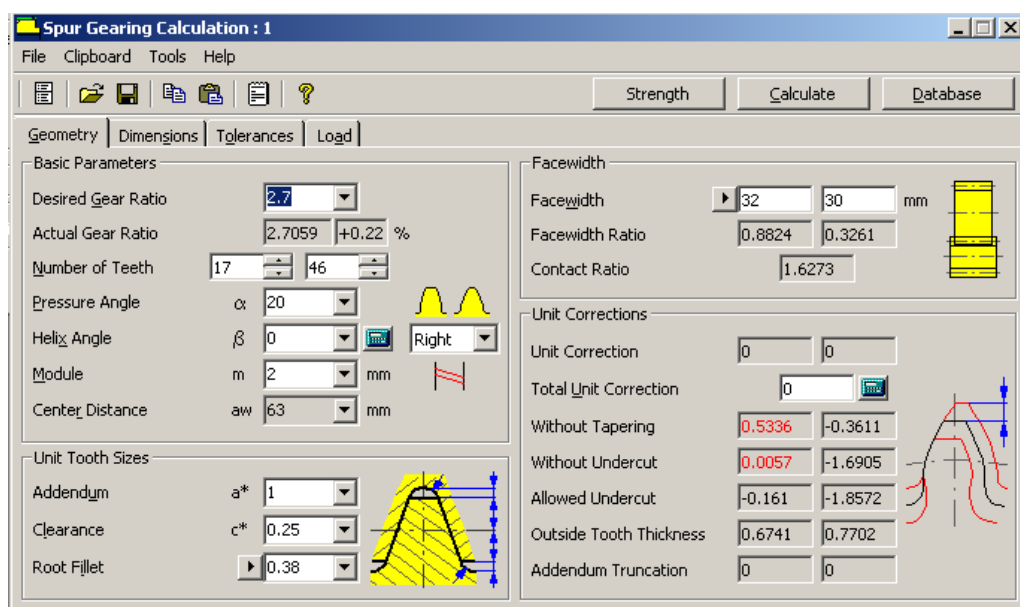


Рис.3.3

## Strength Calculation according to CSN 01 4686, ISO 6336 and DIN 3990

Selection of strength calculation type is done in the [Guide Dialog Box](#).

Strength calculation dialog box is displayed after clicking the **Strength** button in the [Main Dialog Box](#).

The strength calculation is also based on the fixed-end beam calculation and it contains many factors for including the majority of effects.



Note: The calculation is only accessible for metric units.

### Safety factor of contact fatigue

$$S_{H1,2} = \frac{\sigma_{H\text{lim}1,2} \cdot Z_{N1,2} \cdot Z_L \cdot Z_R \cdot Z_v}{Z_E \cdot Z_H \cdot Z_{B1,2} \cdot Z_s \cdot \sqrt{\frac{F_t \cdot K_H \cdot u + 1}{b_w \cdot d_1 \cdot u}}}$$

where:

### Safety factor in contact during one-time loading

$$S_{H\text{st}1,2} = \frac{\sigma_{H\text{Pmax}1,2}}{Z_E \cdot Z_H \cdot Z_{B1,2} \cdot Z_s \cdot \sqrt{\frac{F_t \cdot K_H \cdot K_{AS} \cdot u + 1}{b_w \cdot d_1 \cdot u}}}$$

Рис.3.4

Вихідні дані для розрахунку на міцність зубчастих передач можуть бути підготовлені в Mechanical Desktop 4.0. У модулі, що реалізує автоматизоване проектування валів (shaft generator), виконується геометричний розрахунок зубчастого зачеплен-

ня (Рис.3.5). На основі знайдених параметрів зачеплення автоматично промальовується зубчасте колесо або вал-шестерня. За цими даними і крутильним моментом розраховуються зусилля в зачепленні.

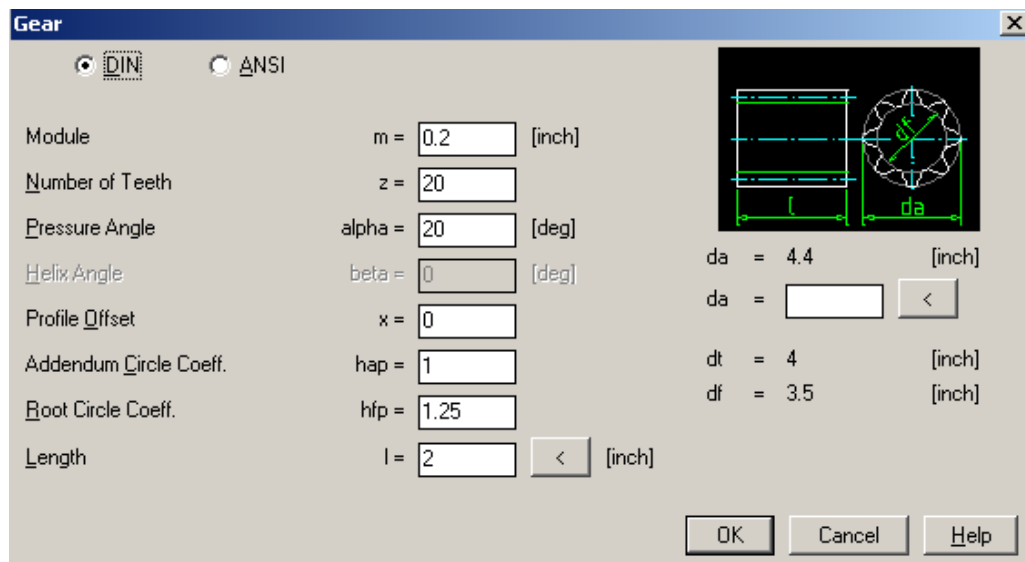


Рис.3.5

Через різноманітність конічних передач їхні розрахунки стандартизовані у меншій мірі, ніж передач циліндричних. До стандартного пакету постачання модуль розрахунку конічних передач звичайно не входить. Виняток становить пакет MECHSOFT, у якому передбачено розрахунок геометричний і на міцність конічних передач із прямыми і круговими зубами у відповідності до стандартів ANSI, DIN, ISO і ін. Як вихідні дані можуть бути задані передана потужність і частота обертання, крутильний момент і частота обертання або потужність і крутильний момент. Також задаються геометричні параметри передачі: числа зубів; кут профілю;

середній кут нахилу зубів; кут між осями коліс; напрямок зубів; коефіцієнт висоти голівки зуба; коефіцієнт радіального зазору; коефіцієнт радіусу кривизни ніжки зуба. Програма розраховує необхідний для заданих вихідних даних модуль передачі, при необхідності уточнюються геометричні параметри. Є можливість розрахунку передачі з урахуванням коефіцієнтів корекції профілю і тангенціального зсуву.

Програма розрахунку конічних передач включає чотири блоки, кожний із них графічно поданий у вигляді за кладини. Перший, розглянутий вище, блок (Geometry) задає вихідні геометричні параметри передачі. При зміні будь-

якого з параметрів після натискання кнопки «Calculate» у правому верхньому куту відбувається автоматичне відновлення змісту інших трьох закладин. У закладці Dimensions подані геометричні параметри передачі. У прикладі розміри за-значені в дюймах, тому що розрахунок ведеться за стандартом ANSI (Рис. 3.6). Відповідно до зазначеного стандарту визначаються зовнішня і середня конусні відстані; діаметри вершин, западин і ділильний на зов-

нішньому торці зуба; товщина і висота зуба на зовнішньому торці; еквівалентне і біек-вівалентне число зубів; діаметр виступів на внутрішньому торці і ділильний діаметр у середньому перетині; половина кута при вершині ділильного конусу; монтажні дистанції в різних перетинах і ряд інших (див. рис. 3.6). Зазначені параметри розраховуються для шестерні і колеса і дозволяють безпосередньо визначити відповідність розмірів коліс обраної конструкції приводу (Рис. 3.5).

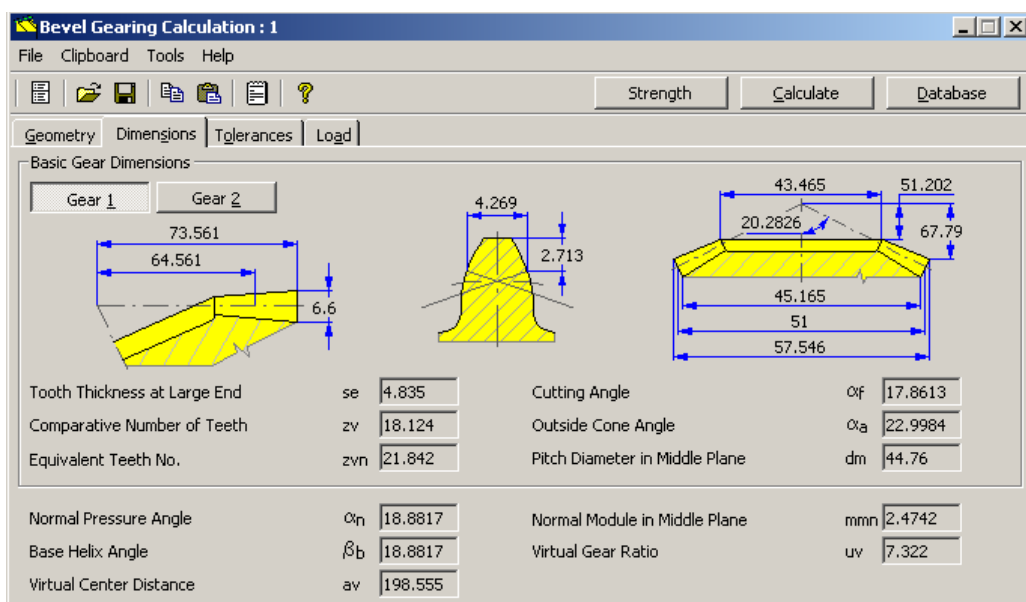


Рис. 3.6

У закладці Tolerances задається один параметр – точність передачі. Можливий

розрахунок передач від 5 до 9 ступеня точності. За обраним ступенем точності і ста-

нтарту (у прикладі це ANSI) програма демонструє параметри, що характеризують точність передачі. У зазначеному прикладі це: граничні відхилення кута нахилу, осьового корекції і неспівсності; максимальне биття; граничні відхилення кроку осьового і за зовнішнім основним конусом.

У закладці Load розраховуються нормальні й окружне зусилля, а також радиальна й осьова складові, діючі на шестерню і колесо (Рис. 3.7). Цікаво, що в стандартному розрахунку по ANSI визначається частота обертання, при якій настає резонанс (див. рис. 3.7).

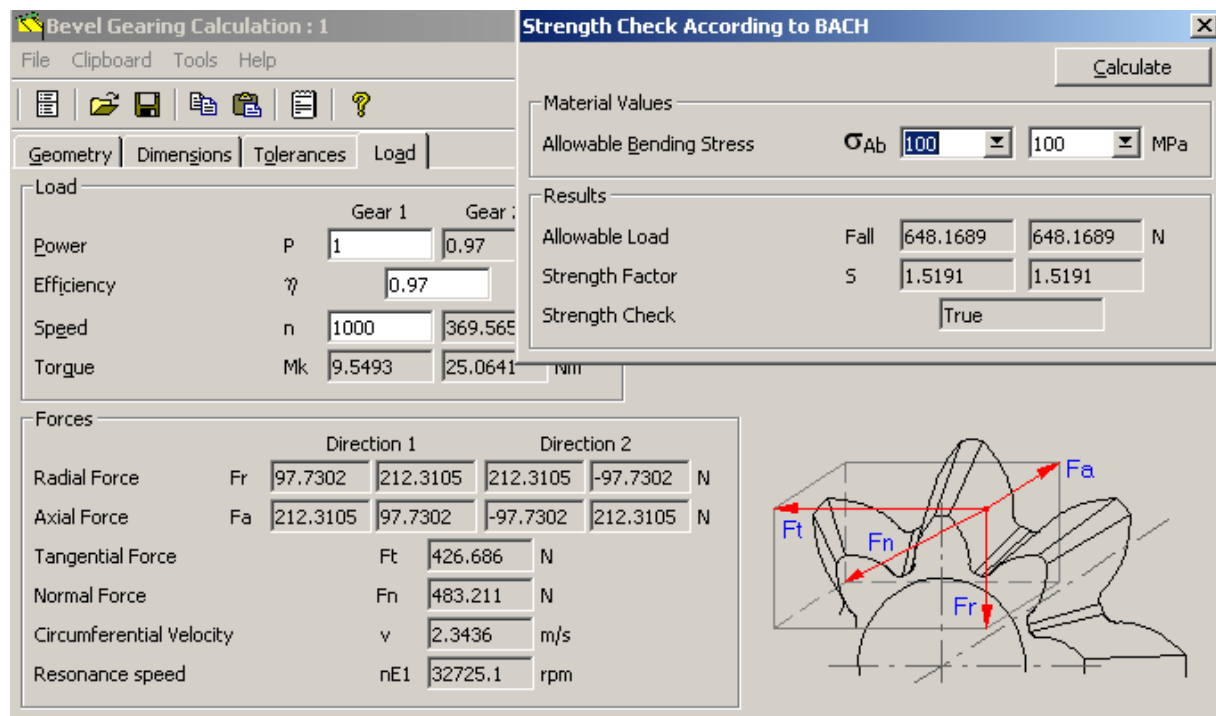


Рис. 3.7

Кнопка Database дає доступ до бази даних, по яких проводиться розрахунок передачі. Поряд із стандартними параметрами, там містяться довідкові дані, до яких можна внести корективи, напри-

клад, змінити коефіцієнт корисної дії передачі.

Кнопка Strength (див. рис. 3.7) дає доступ до бази даних по властивостях матеріалу, із яких виготовлена передача. Структура залежно-

стей за визначенням припустимих контактних і згинальних напруг відповідає обраному стандарту, деякі параметри можуть бути змінені, наприклад, коефіцієнт безпеки.

Пакет Mechanical Desktop 4.0 містить модуль, що реалізує автоматизоване проектування ланцюгових і зубчасторемінних передач (chains /bells). Є бібліотека ланцюгів у відповідності зі стандартами ISO і DIN, а також стандартні елементи

зірочок (Рис.3.8). За обраним ланцюгом, числом зубів зірочки, числом зубів, які зображуються, і діаметром валу автоматично вимальовується зірочка. Є можливість вимальовування ланцюгової передачі з зображенням конфігурації заданої кількості ланок ланцюга. Навантажувальна спроможність передачі відповідає обраному ланцюгу. Після вимальовування передачі автоматично прораховується довжина ланцюга.

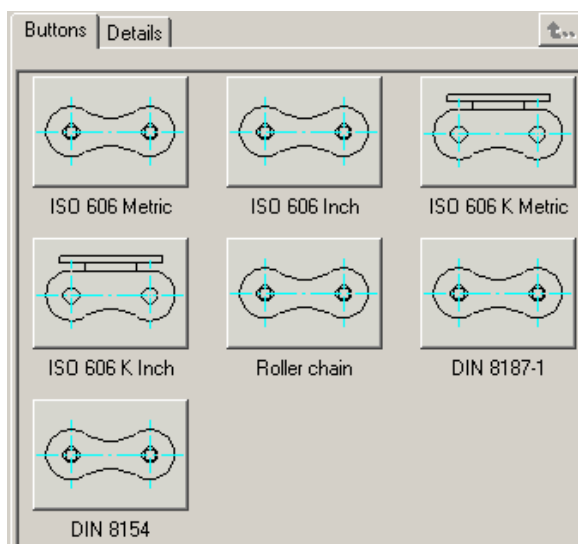


Рис. 3.8

Аналогічний модуль реалізований у програмному комплексі MECHSOFT. Є можливість розрахунку втулково-

роликових ланцюгів, клиноремінних і зубчаторемінних передач (Рис. 3.9).

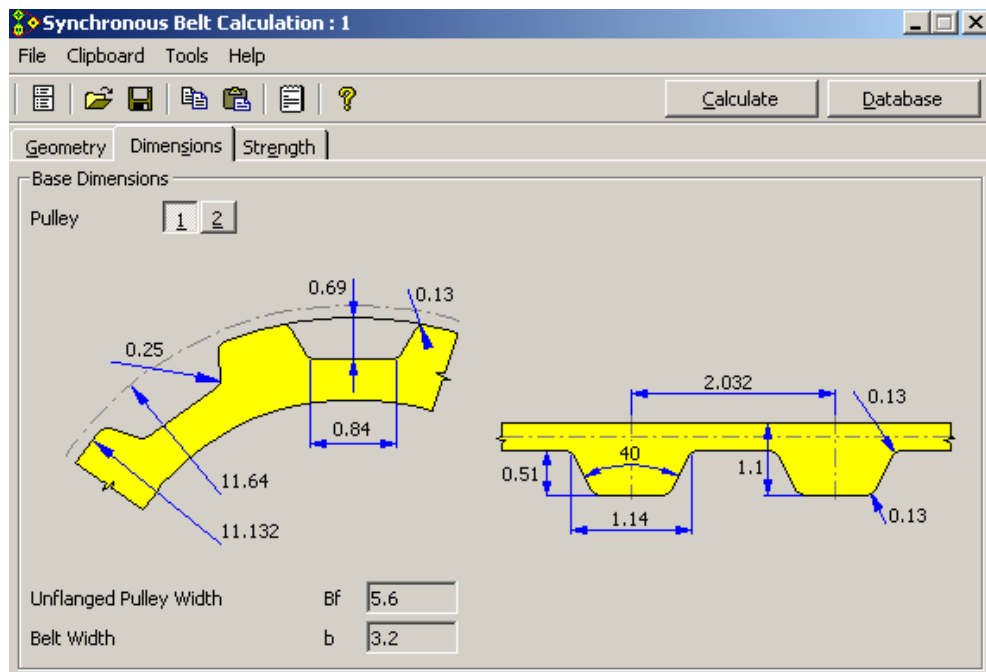


Рис. 3.9

Пакет Mechanical Desktop 4.0 містить модуль, що реалізує автоматизоване проектування підшипників (Рис. 3.10). Для даного ти-

порозміру підшипника за зadanim радіальним й осьовим навантаженням визначається довговічність підшипника.

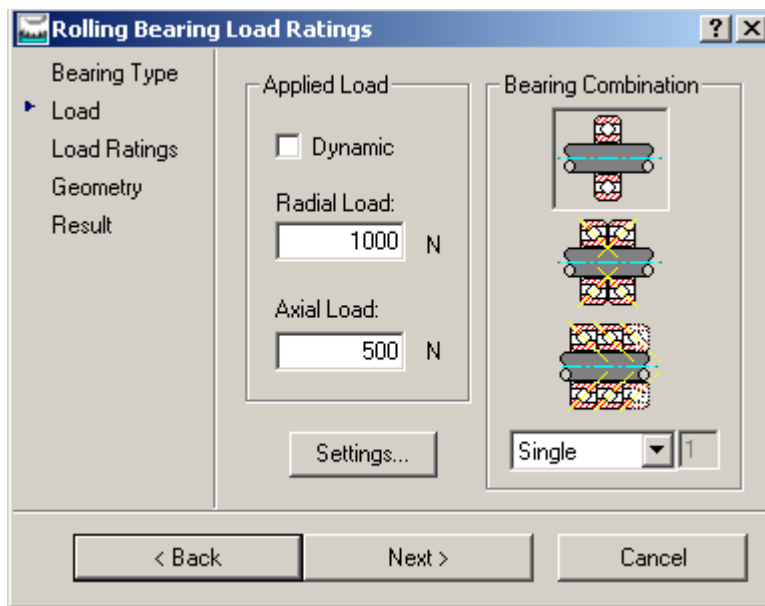


Рис. 3.10

Аналогічний модуль динамічного навантаження. реалізований у програмному комплексі Mechsoft (Рис. 3.11). Розрахунок, реалізований у комплексі Mechsoft, виконується з урахуванням Поряд із розрахунком довговічності визначаються втрати на тертя і вказується мінімально припустиме навантаження на підшипник.

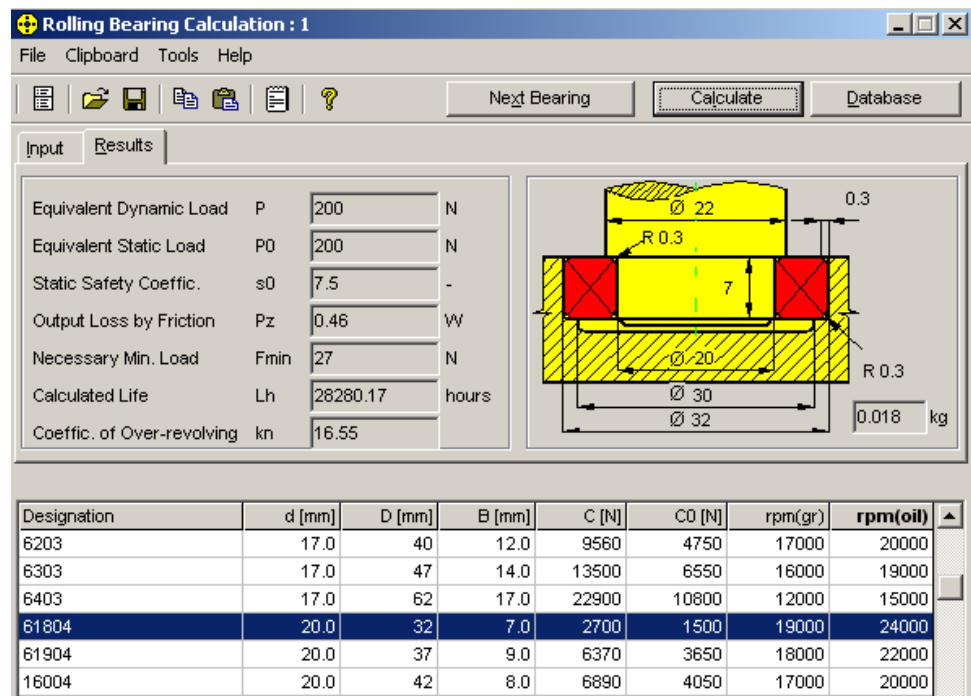


Рис. 3.11



## **Рекомендації щодо розробки креслень у середовищі AutoCAD**

З множини способів розробки креслень із використанням AutoCAD пропонується методика, що максимально наближена до ручного креслення, як найбільш проста і доступна. Створення креслення в середовищі AutoCAD можна розбити на два етапи: підготовчий етап і власне креслення.

На першому підготовчому етапі необхідно:

- задати формат креслення, наприклад A1:

Command: LIMITS  
ON/OFF/<Lower left corner> <0.0000, 0.0000>

Upper right corner  
<841,594>

- задати прив'язку графічного маркера до вузлів сітки, наприклад із кроком 1мм:

Command: SNAP  
Snap spacing or On/Off/  
Aspect/Rotate/ Style: 1

- установити режим виводу на екран координатної сітки, наприклад із кроком 5мм:

Command: GRID

Grid spacing(X) or  
On/Off/Snap/ Aspect<0.000>:5

- здійснити призначення шарів.

Шари - найважливіший інструмент логічної організації креслень AutoCAD. Використання шарів дозволяє створювати креслення по шарах, у яких об'єднані різні групи взаємозалежних елементів - наприклад, текстові примітки на одному шарі, а розміри - на іншому. Практика спілкування із шарами і їхніми найменуваннями дуже важлива, оскільки креслення, виконані в AutoCAD різними користувачами, не будуть взаємно погодженими, якщо їхні розробники не притримуються єдиної схеми використання шарів і призначення їхніх імен. Стратегія розбики креслення на шари особливо важлива у версіях AutoCAD починаючи з AutoCAD 2000, оскільки з'явилася можливість призначення шарам нових атрибутив - ширини лінії і стилів друку. Крім того, тепер легко задавати, можливість друку визначеного шару. Всі ці засоби простіше

застосовувати при єдиній системі організації поділу креслення по шарах.

У курсовому проектуванні деталей машин рекомендується наступна схема поділу креслення на шари:

1. Геометрія - шар, що містить основні лінії креслення. Тип лінії - Continuous (Безупинна), коліор - червоний.

2. Тонка - шар, що містить тонкі лінії креслення (штрихову, різьблення і т.д.) Тип лінії - Continuous (Безупинна), колір - блакитний.

3. Осі - шар, що містить осьові лінії креслення, тип лінії - CENTER, але можна використовувати і DASHDOT, колір - зелений.

4. Розміри - шар для постановки розмірів і текстових приміток. Тип лінії - Continuous (Безупинна), колір - білий.

5. Штамп - слой, що містить форму для заповнення основного напису креслення по ДЕРЖСТАНДАРТ.

6. Службовий - шар для тимчасових побудов, не виведений на плоттер.

Крім зазначених вище шарів можуть бути використані будь-які інші, необхідні для роботи над конкретним проектом. Для створення шарів використовується діалогове вікно Layer Properties Manager.

Command: Layer  
Або вибрати Format - Layer. Відчиниться діалогове вікно Layer Properties Manager (Менеджер властивостей шару) Вікно «Менеджер» властивостей шару може бути відкрито, крім того, і щигликом по кнопці Laeyrs (Шари) панелі інструментів Object Properties (Властивості об'єктів).

Для створення нового шару, наприклад «Геометрія» кладніть на кнопці New (Новий) і в колонку Name (Ім'я) введіть ім'я шару, у даному випадку «Геометрія». У інших колонках списку шару відображаються властивості нового шару по умовчанню. Він одержить по умовчанню стан On (Увімкнути), Color (Колір) - White (Білий) і Linetype (Тип лінії) - Continuous (Безупинна). Зміните колір шару на червоний

щигликом на піктограмі Color (Колір), зробивши відповідний вибір. Аналогічним способом можна створити інші шари. При створенні шару «Оси» для завантаження типу лінії Center клацніть на осередку колонки Linetype. Відчиниться діалогове вікно Select Linetype (Вибір типу лінії). Зазначте необхідний тип лінії в списку Loaded Linetypes (Завантажені типи ліній). Якщо необхідного типу лінії немає в списку, його необхідно завантажити. Клацніть на кнопці Load (Завантажити) і виберіть із списку потрібний тип лінії. Цей тип лінії буде встановлений для всіх об'єктів шару, що зараз настроюється.

Для визначення ширини лінії клацніть на стовпці

Lineweight (Ширина лінії) і виберіть необхідну ширину лінії. Якщо шар не повинний виводитися на друк будучи включеним і не замороженим, клацніть на піктограмі Plot (Ознака друку), щоб включити режим друку або відключити його.

Після створення всіх необхідних шарів клацніть на кнопці OK, щоб покинути діалогове вікно Менеджер властивостей шару.

На рис.3.12 зображене діалогове вікно «Менеджер» властивостей шару, у якому створені шари «Геометрія», «Оси», «Розміри», «Тонка», «Штамп» і «Службовий» із відповідними кольорами і типами ліній і режимами преси.

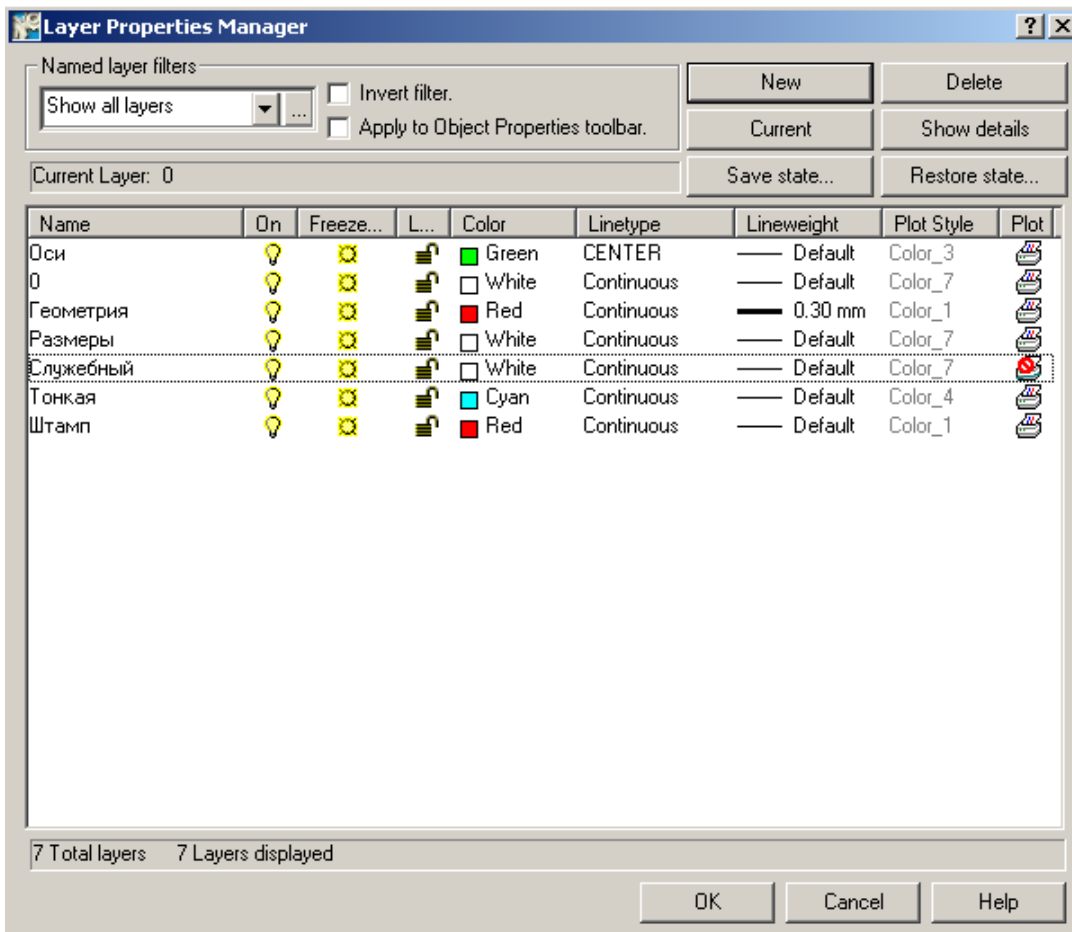


Рис.3.12

Другий етап припускає власне креслення. При виконанні другого етапу проводиться креслення графічної частини проекту відповідно до завдання на курсове проектування.

Рекомендації по виконанню другого етапу роботи.

#### *Текстові стилі креслення*

Написи на кресленнях виконуються по ДЕРЖСТАНДАРТ 2.304-81, що встановлює креслення прописних і малих літер для російських, латинських, грецького алфавітів,

арабських і римських цифр. Висота  $h$  прописних літер у міліметрах визначає розмір шрифту. Товщина  $d$  ліній шрифту залежить від типу і висоти шрифту.

ДЕРЖСТАНДАРТ встановлює наступні розміри креслярських шрифтів: 2,5; 3,5; 5; 7; 10; 14; 20 типів А і Б.

Тип А ( шрифт без нахилу ( $d=1/14h$ ) ;

Тип А ( шрифт із нахилом 75 ( $d=1/14h$ ) ;

Тип Б ( шрифт без нахилу ( $d=1/10h$ ) ;

Тип Б – шрифт із нахилом 75 (d=1/10h).

Всі параметри шрифтів за-  
значені в ДЕРЖСТАНДАРТ  
2.304-81.

У графічній системі текст розглядається, як графічний примітив і може бути виконаний різними текстовими шрифтами, що є в програмному забезпеченні системи AutoCAD і складають бібліотеку стандартних текстових шрифтів.

Текстовий стиль – це набір параметрів (властивостей), застосованих при створенні текстових об'єктів. Текстовий стиль надає можливість настроїти різні параметри тексту, управляти його зовнішнім виглядом у межах одного креслення і всього проекту. По умовчанню нове креслення AutoCAD відчиняється з єдиним попередньо встановленим текстовим стилем – STANDART.

Для створення нового або редагування існуючого текстового стилю необхідно виконати наступні дії:

1. Command: Style або меню Format – Text Style. Відчиниться діалогове вікно Text

Style (Текстові сти-  
лі).

2. Для редагування існуючого стилю виберіть його в списку, що розкривається; а щоб створити новий стиль, кладніть на кнопці New (Новий) і введіть найменування стилю, наприклад Російський.
3. Виберіть у списку, що розкривається, Font Name (Найменування шрифту) ім'я необхідного шрифту. Рекомендується для написів на поле креслення застосувати шрифт Romans.shx.
4. У текстовому вікні Height (Висота) уведіть значення висоти тексту – 3.5.
5. Зазначте, які додаткові ефекти ви хочете застосовувати:  
Upside down (Перевернений), Backwards (Справа ліворуч), Vertical (Вертикальний),  
Width factor (Ступінь стиску/розширення),  
Oblique angle (Кут нахилу).

Тому що креслярські шрифти повинні бути виконані з нахилом літер і цифр до підстави рядка біля  $75^\circ$ , кут нахилу варто установити  $15^\circ$ .

Найменування, заголовки, позначення в основному написі і на поле креслення допускається писати без нахилу.

6. Завершивши вибір опцій, кладніть на кнопці *Apply* (Застосував-

ти) . Буде створений текстовий стиль із заданими параметрами або відредактований існуючий.

На Рис.3.13 показане діалогове вікно «Текстового» стилю, у якому створений стиль “Росіянин”, шрифт Romans.shx, висотою 3.5 мм із кутом нахилу  $15^\circ$  .

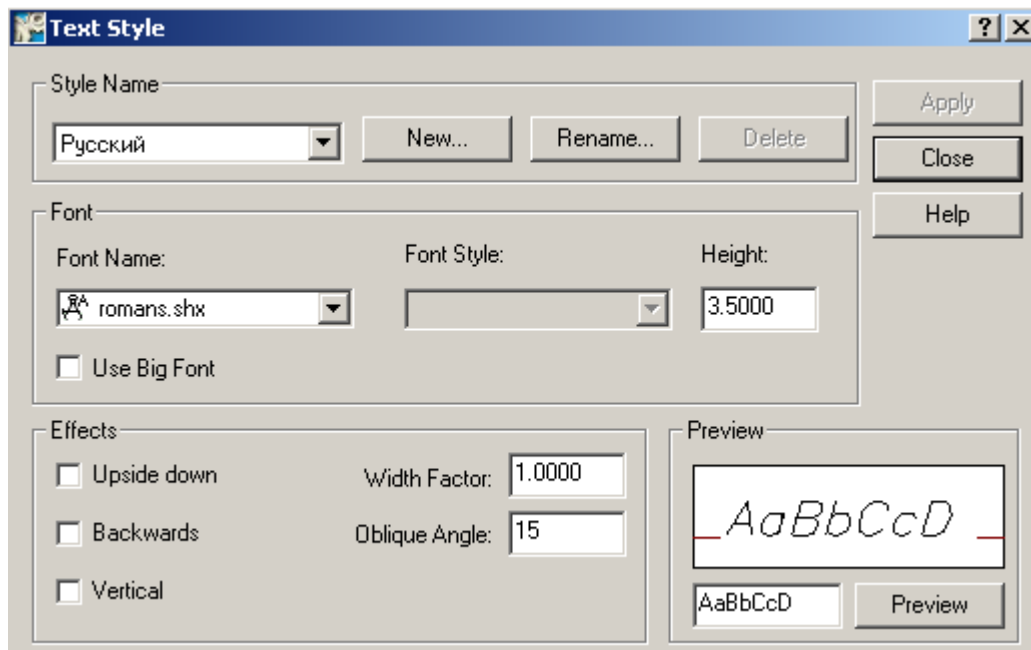


Рис.3.13

*Розмірні стилі креслення.*

Установка розмірних стилів креслення по-

биться за допомогою Менеджера розмірних стилів (Dimension Style Manager).

- a) Command: вого вікна New Dimstyle або меню Format- Dimension Style.
- Відчиниться діалогове вікно Dimension Style Manager.
- б) Клацніть на кнопці New (Новий) щоб створити новий розмірний стиль.
- Відчиниться діалогове вікно Create New Dimension Style (Створення нового розмірного стилю)
1. Введіть у вікні редагування New Style Name найменування нового стилю і клацніть на кнопці Continue (Продовжити)

Відчиниться діалогове вікно New Dimension Style (Новий розмірний стиль)

  2. Внесіть необхідні зміни параметрів на всіх шести закладаннях діалого-
3. Клацніть на кнопці OK, щоб закрити діалогове вікно New Dimension Style.
4. Виберіть новий розмірний стиль у списку стилів, а потім клацніть на кнопці Set Current (Установити поточним).
- Розмірний стиль стане поточним, і AutoCAD буде використовувати його при побудові нових розмірних об'єктів.
- Використання єдиних стандартів пошарової організації креслення, уніфікованих текстових і розмірних стилів значно підвищує якість проектної документації, полегшує перевірку кресень і обмін кресленнями між різними розроблювачами.

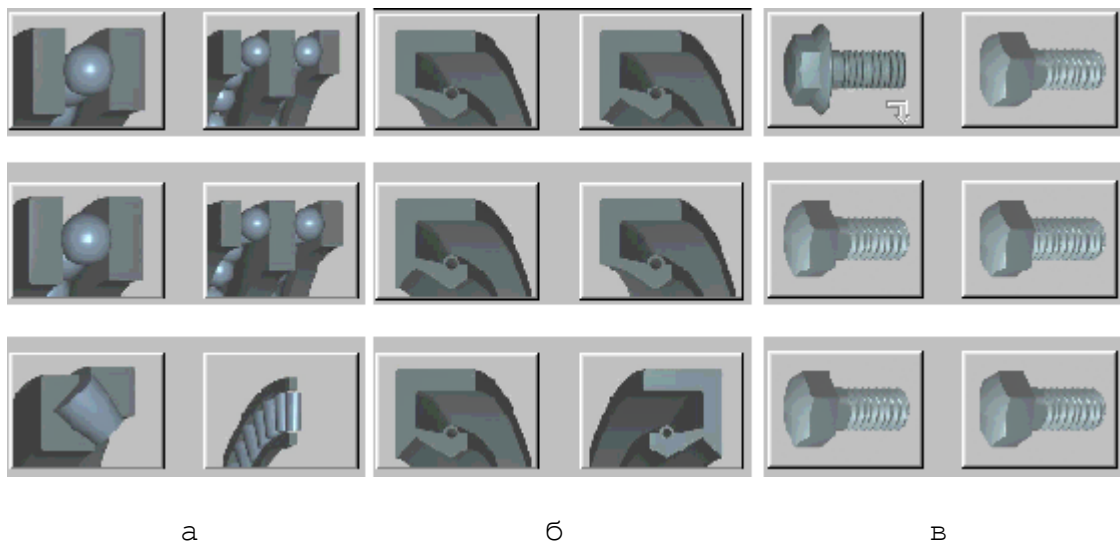
## **Рекомендації щодо організації проектування**

Особливістю проектування з використанням AutoCAD є простота внесення змін до креслення і можливість копіювання деталей і вузлів з одного креслення в інше, що дозволяє опрацювати велику кількість варіантів конструкцій.

Найбільшою мірою на габарити приводу впливає вибір числа обертів електродвигуна і розбивка передатного числа редуктору. В атласі наведені формулі для раціонального вибору передатних чисел ступенів редуктору. Остаточний варіант передатних чисел швидкохідного і тихохідного ступеня може бути встановлений після вимальовування ряду варіантів компонування, що дозволяє визначити габарити редуктора, перевірити наявність необхідного зазору між окружностями виступів коліс і по-

верхнею валом і можливість розміщення підшипників.

Опрацьовуючи конструкцію редуктору, студенти використовують бібліотеку стандартних елементів у форматі .dwg, розроблених кафедрою ТМіМ ОНПУ та наведених у програмному комплексу Mechanical Desktop. Це підшипники (а), кришки підшипників, ущільнення (б), кріпильні вироби (в), а також маслопокажчики, віддушини, маслозливні пробки, шпонки і установчі штифти (Рис 3.14). При проектуванні приводу використовується бібліотека креслень асинхронних електродвигунів серії АО. Розробка і креслення зварної рами спрощується за рахунок використання бібліотеки стандартних профілів прокату. Скорочення часу розробки креслень загального вигляду приводу дозволяє опрацювати низку варіантів і вибрati оптимальний щодо габаритів і маси зварної рами, приводу (Рис. 3.15).



а

б

в

Рис. 3.14

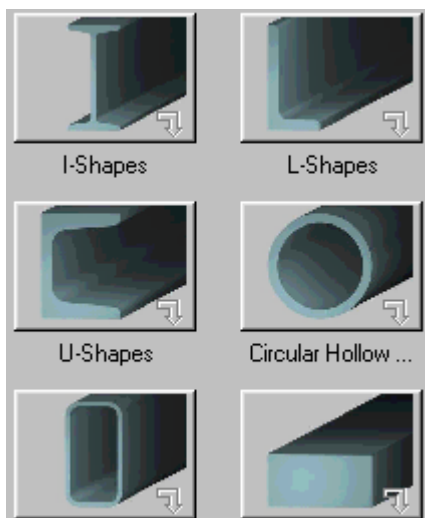


Рис. 3.15

Креслення деталей ведеться на основі зразків креслень. Всі запропоновані варіанти редукторів постачені бібліотекою можливих конструкцій зубчастих коліс і валів. Розроблено зразки оформлення технічної документації; параметрів зубчастого і черв'яч-

ного зачеплення, технічних вимог до деталей.

AutoCAD дає значні можливості для візуалізації деталей. Зубчасті колеса і валі запропоновані у якості зразкових креслень, розроблені як 3D моделі (Рис.3.16). Це дозволяє студентам краще уявляти собі спроектований привод.

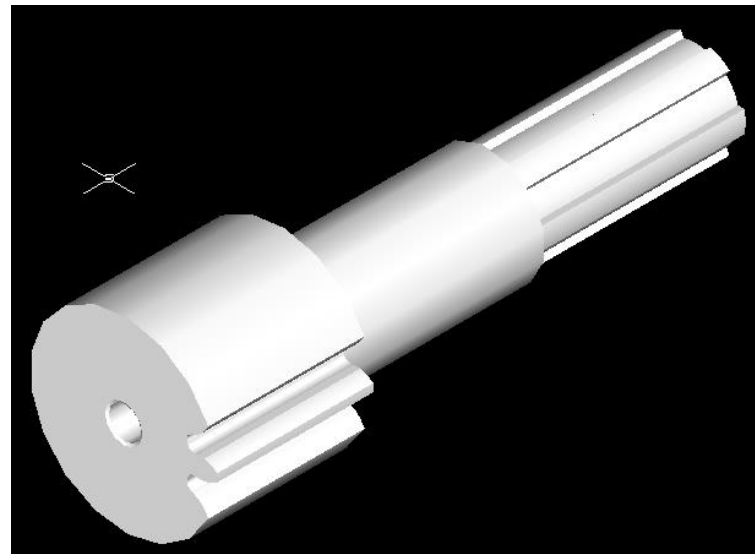


Рис. 3.16

# "Курсове проектування деталей машин"

---

## **СПИСОК ВИКОРИСТАНИХ ДЖЕРЕЛ**

1. Іванов, В. В., Мотулько, Б. В., & Харсун, А. М. (2004). Проектування деталей машин з використанням AutoCAD. Іздательство АО БАХВА, 125.
2. Малащенко, В. О., Стрілець, В. М., Новіцький, Я. М., & Стрілець, О. Р. (2017). Деталі машин і підйомно-транспортне обладнання.
3. Люлька, В. С., & Коньок, М. (2013). Деталі машин та підйомно-транспортні машини. Методичний посібник з лабораторних робіт.
4. Полешко О.П., Блощицин. М.С. (2011) Деталі машин. Лабораторний практикум. НТУУ «КПІ», 86.
5. Bhandari, V. B. (2010). Design of machine elements. Tata McGraw-Hill Education.
6. Avallone, E. A., Baumeister III, T., & Sadegh, A. (2018). Marks' standard handbook for mechanical engineers. McGraw-Hill Education.
7. Childs, T. H. C. (2003). Mechanical design. Elsevier.
8. Childs, P. R. (2013). Mechanical design engineering handbook. Butterworth-Heinemann.
9. Grote, K. H., & Antonsson, E. K. (Eds.). (2009). Springer handbook of mechanical engineering (Vol. 10). New York: Springer.
10. Ivanov, V., Urum, G., Ivanova, S., & Naleva, G. (2017). Analysis of matrix and graph models of transmissions for optimization their design. Восточно-Европейский журнал передовых технологий, (4 (1)), 11-17.
11. Ivanov, V., Urum, G. D., Volkova, M. G., & Ivanova, S. V. (2018). Development of the positive engagement continuously variable transmission design with the application of graph theory. Eastern-European Journal of Enterprise Technologies, 3.1: 93.